

# CZASOPISMO LOTNICZE

ORGAN LABORATORJUM AERODYNAMICZNEGO POLITECHNIKI LWOWSKIEJ I INSTYTUTU TECHNIKI SZYBOWNICTWA  
DODATEK DO „CZASOPISMA TECHNICZNEGO“

KOMITET REDAKCYJNY:

Prof. Inż. STANISŁAW ŁUKASIEWICZ  
Naczelný Kierownik I. T. S.

Dr. Inż. ZYGMUNT FUCHS  
Kierownik Lab. Aerođ. Politechniki Lw.

Inż. WACŁAW CZERWIŃSKI  
Kierownik techniczny I. T. S.

REDAKTOR NACZELNY I ODPOWIEDZIALNY: Dr. Inż. ZYGMUNT FUCHS.

TREŚĆ: Dr. Inż. Zygmunt Fuchs: Rozkład ciśnień i wyporu na skrzydle quasi-trapezowym uzyskany przy pomocy sondy ciśnień statycznych. — Adam Nowotny: Własności szybowców i wyczyny w locie żaglowym. Program wypróbowania różnych typów.

Dr. Inż. Zygmunt Fuchs.

## Rozkład ciśnień i wyporu na skrzydle quasi-trapezowym uzyskany przy pomocy sondy ciśnień statycznych.

Distribution des pressions et de la sustentation sur une aile quasi-trapezoïde, obtenue à l'aide de la sonde des pressions statiques.

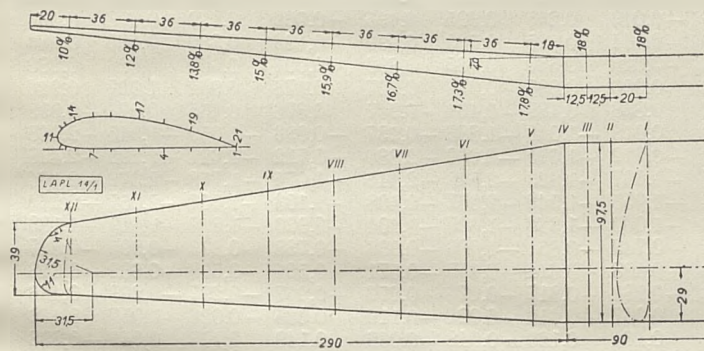
Détermination de la distribution de la pression résultante des pressions sur l'extrados et sur l'intrados. Lignes des pressions résultantes égales. Détermination de la distribution de la sustentation le long de l'envergure. Comparaison des résultats obtenus à l'aide de la balance aérodynamique et par la méthode de la sonde des pressions statiques. (Les mesures ont été exécutées au Laboratoire Aerodynamique de l'Ecole Polytechnique de Lwów).

W dalszym ciągu prac nad wykazaniem użyteczności stosowania sondy ciśnień statycznych<sup>1)</sup> do po-

i rozchyleniu płatów (ryc. 1). Spółrzędne  $\xi$ ,  $\eta$  charakterystycznych profili płata, wyrażone w procentach głębokości profilu  $t$ , podaje tabela I.

Pomiary ciśnień przeprowadzono w 12 przekrojach jednej połowy płata w 21 punktach obwodu każdorazowego profilu (ryc. 1) przy różnych kątach natarcia. Punkty pomiarowe, leżące nad sobą na prostopadłych do cięciwy profilu, określa tab. II, podająca odcięta wzdłuż cięciwy w % głębokości profilu. Wyniki pomiaru ciśnień, przedstawione w postaci stosunku ciśnienia odczytanego  $p$  do ciśnienia prędkości  $q$ , zestawiono w tabeli III.

Celem zobrazowania rozkładu ciśnień naniesiono wzdłuż powierzchni rzutu skrzydła na płaszczyznę prostopadłą do płaszczyzny symetrii samolotu ciśnienia wypadkowe z ciśnień na powierzchnię górną i dolną skrzydła  $p$ , odniesione do jednostki ciśnienia prędkości  $q$ , (ryc. 2 a, b, c, d) czyli stosunki  $\frac{p}{q}$ . Na podstawie tych wykresów wyznaczono następnie linje równych ciśnień wypadkowych (warstwie), przedstawione na ryc. 3 a, b, c, d; różnica ciśnień pomiędzy sąsiednimi warstwami wynosi  $\frac{\Delta p}{q} = 0,355$ .



Ryc. 1.

Skrzydło quasi-trapezowe z oznaczeniem przekroji pomiarowych, tudzież punktów pomiarowych wzdłuż profilu.

Tabl. I. Spółrzędne profili w przekroju I i XII.

Odcięta w % t		$\xi$	0	1,25	2,5	5	7,5	10	15	20	30	40	50	60	70	80	90	95	100
Rzędne w przekroju	I	$\eta_g$	6,69	9,69	11,16	13,28	14,66	15,74	17,12	17,80	18,00	17,07	15,50	13,43	10,82	7,87	4,20	2,20	0,0
		$\eta_d$	6,69	4,03	3,20	2,11	1,38	0,89	0,34	0,10	0,0	—	—	—	—	—	—	—	—
XII	$\eta_g$	3,71	5,38	6,20	7,37	8,14	8,74	9,50	9,89	10,00	9,48	8,60	7,46	6,01	4,37	2,51	1,47	0,0	
	$\eta_d$	3,71	2,24	1,77	1,17	0,76	0,50	0,20	0,05	0,0	—	—	—	—	—	—	—	—	

miaru rozkładu ciśnień na modelach przedmuchiwanym w tunelu aerodynamicznym, wykonano w Laboratorium aerodynamicznym Politechniki Lwowskiej pomiary ciśnień na skrzydle quasi-trapezowym o zmiennym profilu

Tabl. II. Określenie punktów pomiarowych.

Punkt pomiarowy	21	20	19	18	17	16	15	14	13	12	11
Odcięta wzdłuż głębokości w % t	0,00	0,10	0,25	0,40	0,55	0,70	0,80	0,90	0,95	0,97	1,00

<sup>1)</sup> Z. Fuchs, Pomiar rozkładu ciśnień wzdłuż powierzchni przy pomocy sondy ciśnień statycznych, *Czas. Lotn.* 1933. Nr. 1, str. 3—5.



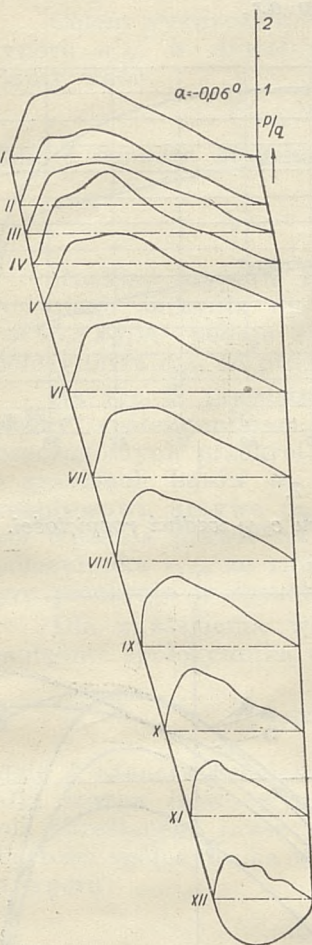
Tabl. III. Rozkład ciśnień wyrażony przez  $\frac{p}{q}$ .

Przekrój	I				II				III				IV				
	Kąt natarcia	-0,064°	4,76°	9,64°	14,65°	-0,064°	4,76°	9,64°	14,65°	-0,064°	4,76°	9,64°	14,65°	-0,064°	4,76°	9,64°	14,65°
$p/q$ w punkcie pomiarowym	1	0,165	0,122	0,072	-0,078	0,211	0,178	0,102	-0,062	0,221	0,181	0,108	-0,057	0,229	0,179	0,107	-0,049
	2	0,140	0,158	0,128	0,101	0,151	0,169	0,137	0,094	0,149	0,169	0,135	0,092	0,153	0,169	0,137	0,089
	3	0,114	0,185	0,185	0,192	0,110	0,187	0,185	0,190	0,112	0,187	0,179	0,179	0,114	0,189	0,179	0,164
	4	0,105	0,201	0,217	0,258	0,098	0,201	0,215	0,254	0,098	0,201	0,213	0,249	0,094	0,203	0,222	0,246
	5	0,080	0,208	0,251	0,317	0,080	0,201	0,249	0,311	0,078	0,197	0,250	0,306	0,078	0,196	0,256	0,299
	6	0	0,215	0,301	0,398	-0,007	0,205	0,301	0,388	0	0,203	0,294	0,384	0,005	0,281	0,301	0,377
	7	-0,030	0,210	0,343	0,473	-0,087	0,208	0,346	0,472	-0,098	0,203	0,338	0,464	-0,089	0,197	0,326	0,450
	8	-0,158	0,261	0,496	0,674	-0,183	0,260	0,484	0,655	-0,189	0,269	0,480	0,648	-0,155	0,274	0,475	0,637
	9	-0,094	0,477	0,674	0,895	-0,082	0,475	0,717	0,870	-0,066	0,477	0,724	0,856	-0,058	0,456	0,703	0,838
	10	0,165	0,883	0,945	0,959	0,208	0,795	0,928	0,963	0,177	0,826	0,945	0,961	0,141	0,812	0,950	0,956
	11	0,082	0,551	-0,211	-0,776	0,872	0,545	-0,178	-0,826	0,895	0,564	-0,233	-1,043	0,868	0,609	-0,190	-0,858
	12	-0,026	-0,886	-1,707	-2,454	-0,064	-0,855	-1,851	-2,485	-0,105	-0,856	-1,808	-2,492	0,050	-0,792	-1,796	-2,335
	13	-0,596	-1,539	-2,264	-2,906	-0,577	-1,502	-2,255	-2,860	-0,580	-1,413	-2,298	-2,796	-0,516	-1,386	-2,328	-2,689
	14	-1,066	-1,874	-2,421	-2,422	-1,102	-1,865	-2,402	-2,380	-1,099	-1,890	-2,440	-2,378	-1,061	-1,855	-2,520	-2,490
	15	-1,080	-1,653	-2,050	-2,374	-1,037	-1,670	-2,005	-2,360	-1,102	-1,662	-2,002	-2,344	-1,104	-1,685	-2,070	-2,439
	16	-1,174	-1,369	-1,769	-1,614	-1,184	-1,375	-1,761	-1,568	-1,050	1,383	-1,794	-1,523	-1,361	-1,400	-1,805	-1,565
	17	-	-	-	-	-0,845	-0,807	-0,985	-0,932	-0,815	-0,835	-0,957	-0,926	-0,829	-0,863	-0,972	-0,913
	18	-	-	-	-	-0,516	-0,603	-0,612	-0,515	-0,523	-0,594	-0,605	-0,488	-0,489	-0,580	-0,586	-0,468
	19	-	-	-	-	-0,309	-0,301	-0,258	-0,195	-0,309	-0,286	-0,228	-0,164	-0,281	-0,292	-0,229	-0,148
	20	-	-	-	-	0,032	0,028	0,028	-0,066	0,034	0,039	0,034	-0,062	0,039	0,048	0,041	-0,066
	21	-	-	-	-	0,190	0,146	0,107	-0,037	0,201	0,149	0,084	-0,044	0,199	0,148	0,078	-0,043

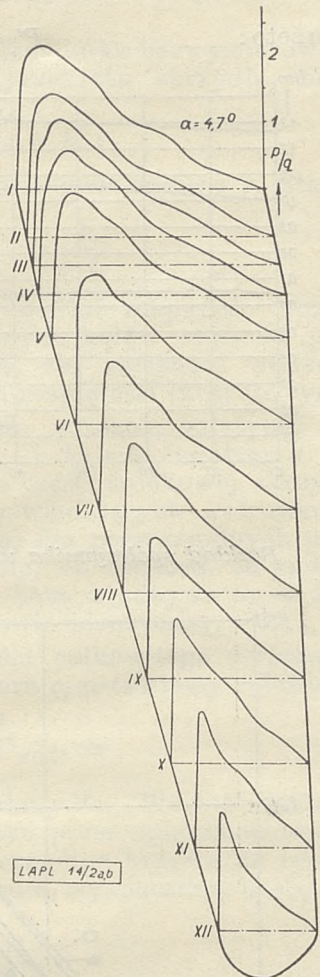
Przekrój	V				VI				VII				VIII				
	Kąt natarcia	-0,064°	4,76°	9,64°	14,65°	-0,064°	4,76°	9,64°	14,65°	-0,064°	4,76°	9,64°	14,65°	-0,064°	4,76°	9,64°	14,65°
$p/q$ w punkcie pomiarowym	1	0,229	0,181	0,107	-0,041	0,217	0,172	0,084	-0,067	0,274	0,151	0,071	-0,153	0,187	0,129	0,073	-0,466
	2	0,151	0,165	0,137	0,078	0,139	0,158	0,129	0,058	0,142	0,151	0,128	0,005	0,144	0,148	0,124	-0,100
	3	0,114	0,188	0,178	0,156	0,188	0,188	0,176	0,160	0,116	0,187	0,178	0,128	0,116	0,185	0,178	0,073
	4	0,087	0,208	0,222	0,237	0,092	0,208	0,221	0,228	0,094	0,203	0,225	0,219	0,074	0,188	0,215	0,178
	5	0,066	0,201	0,262	0,302	0,091	0,212	0,281	0,217	0,094	0,217	0,288	0,311	0,080	0,210	0,281	0,268
	6	0,005	0,222	0,303	0,386	0,011	0,240	0,331	0,389	0,018	0,247	0,343	0,411	0,003	0,247	0,343	0,381
	7	-0,078	0,203	0,345	0,459	-0,078	0,219	0,370	0,466	-0,049	0,245	0,395	0,495	-0,060	0,229	0,398	0,466
	8	-0,158	0,262	0,489	0,648	-0,139	0,303	0,505	0,680	-0,144	0,325	0,539	0,690	-0,123	0,380	0,585	0,683
	9	-0,071	0,432	0,726	0,845	-0,028	0,519	0,733	0,881	-0,043	0,530	0,785	0,893	0,007	0,607	0,826	0,888
	10	0,292	0,872	0,966	0,922	0,219	0,982	0,975	0,920	0,306	0,897	0,974	0,927	0,478	0,902	1,027	0,943
	11	0,881	0,496	0,359	-1,057	0,879	0,562	-0,432	-1,032	0,858	0,482	-0,461	-0,917	0,876	0,455	0,076	-0,899
	12	0,073	-0,822	-1,790	-2,387	0,003	-1,030	-1,938	-2,440	0,018	-1,048	-1,883	-0,237	-0,093	-1,059	-1,945	-2,068
	13	-0,534	-1,572	-2,255	-2,876	-0,582	-1,645	-2,293	-2,919	-0,712	-1,675	-2,360	-2,880	-0,712	-1,621	-2,290	-2,428
	14	-1,095	-1,890	-2,382	-2,424	-1,103	-1,935	-2,353	-2,467	-1,087	-1,823	-2,542	-2,445	-1,075	-1,758	-2,376	-2,164
	15	-1,087	-1,660	-2,093	-2,373	-1,095	-1,618	-2,070	-2,454	-1,055	-1,543	-2,057	-2,438	-1,103	-1,507	-2,057	-2,262
	16	-1,066	-1,394	-1,760	-1,607	-1,048	-1,356	-1,725	-1,518	-1,000	-1,338	-1,625	-1,404	-0,920	-1,292	-1,619	-1,189
	17	-0,868	-0,845	-0,993	-0,924	-0,779	-0,872	-0,997	-0,934	-0,769	-0,851	-1,006	-0,936	-0,738	-0,879	-0,995	-0,847
	18	-0,509	-0,596	-0,614	-0,511	-0,491	-0,593	-0,619	-0,550	-0,498	-0,614	-0,655	-0,571	-0,504	-0,598	-0,632	-0,648
	19	-0,258	-0,285	-0,247	-0,171	-0,277	-0,327	-0,262	-0,208	-0,231	-0,317	-0,276	-0,276	-0,267	-0,297	-0,263	-0,496
	20	0,016	0,023	0,021	-0,046	-0,011	-0,018	0,005	-0,064	-0,037	-0,016	-0,021	-0,112	-0,035	-0,026	-0,057	-0,429
	21	0,185	0,148	0,085	-0,028	0,174	-0,148	0,069	-0,035	0,164	0,129	-0,048	-0,062	0,149	0,108	0,043	-0,398

Przekrój	IX				X				XI				XII				
	Kąt natarcia	-0,064°	4,76°	9,64°	14,65°	-0,064°	4,76°	9,64°	14,65°	-0,064°	4,76°	9,64°	14,65°	-0,064°	4,76°	9,64°	14,65°
$p/q$ w punkcie pomiarowym	1	0,155	0,117	0,076	-0,466	0,153	0,113	0,046	-0,472	-0,117	0,085	0,010	-0,438	0,091	0,039	-0,016	-0,226
	2	0,103	0,128	0,129	-0,151	0,107	0,128	0,096	-0,185	0,089	0,087	0,057	-0,165	0,041	0,028	0,034	-0,115
	3	0,101	0,140	0,176	0,039	0,085	0,142	0,137	-0,008	0,064	0,121	0,011	-0,012	0,026	0,028	0,014	-0,023
	4	0,064	0,151	0,219	0,153	0,062	0,153	0,226	0,094	0,051	0,129	0,206	0,091	0,012	0,389	0,078	-0,037
	5	0,071	0,222	0,292	0,253	0,041	0,205	0,290	0,194	0,043	0,192	0,268	0,188	-0,019	0,071	0,156	0,142
	6	0,016	0,245	0,359	0,349	0,025	0,274	0,359	0,294	0,005	0,217	0,343	0,283	-0,032	0,128	0,228	0,206
	7	-0,044	0,270	0,418	0,420	-0,018	0,281	0,438	0,370	-0,046	0,259	0,409	0,365	-0,037	0,185	0,316	0,324
	8	-0,071	0,404	0,644	0,637	-0,030	0,413	0,632	0,558	-0,021	0,473	0,655	0,594	-0,021	0,466	0,617	0,603
	9	-	0,605	0,843	0,826	0,091	0,671	0,851	0,724	0,155	0,674	0,883	0,765	0,160	0,621	0,840	0,779
	10	0,425	0,879	1,019	0,936	0,301	0,979	0,963	0,924	0,391	0,879	0,957	0,913	0,446	0,872	0,915	0,863
	11	0,900	0,285	-1,290	-0,313	0,890	-0,429	-0,673	-0,058	0,872	0,434	-0,510	-0,071	0,934	0,744	0,057	0,176
	12	-0,210	-1,189	-2,371	-1,270	-0,028	-1,143	-2,278	-0,811	-0,129	-1,034	-1,692	-0,858	-0,011	-0,803	-1,491	-1,319
	13	-0,578	-1,488	-2,294	-1,354	-0,434	-1,456	-2,152	-0,715	-0,541	-1,333	-2,022	-0,822	-0,306	-1,087	-1,691	-1,322
	14	-0,938	-1,614	-2,330	-1,052	-0,852	-1,492	-2,228	-0,973	-0,741	-1,361	-2,139	-1,237	-0,552	-1,035	-1,701	-1,530
	15	-0,966	-1,399	-1,983	-1,116	-0,924	-1,340	-1,894	-0,776	-0,850	-1,139	-1,676	-1,019	-0,772	-0,881	-1,238	-1,292
	16	-0,893	-1,194	-1,383	-0,760	-0,792	-1,089	-1,333	-0,731	-0,669	-1,060	-1,199	-0,948	-0,503	-0,724	-1,005	-1,149
	17	-0,697	-0,833	-1,057	-0,644	-0,648	-0,890	-1,027	-0,669	-0,534	-0,785	-0,913	-0,845	-0,503	-0,590	-0,783	-0,947
	18	-0,548	-0,578	-0,649	-0,619	-0,511	-0,514	-0,625	-0,662	-0,411	-0,486	-0,541	-0,844	-0,274	-0,404	-0,516	-0,803

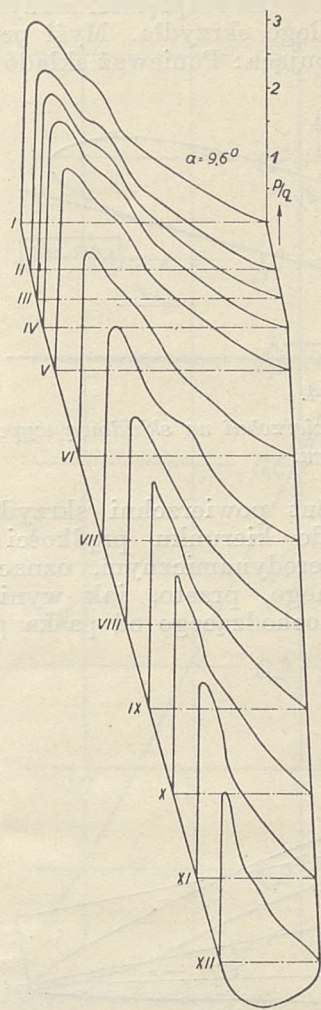




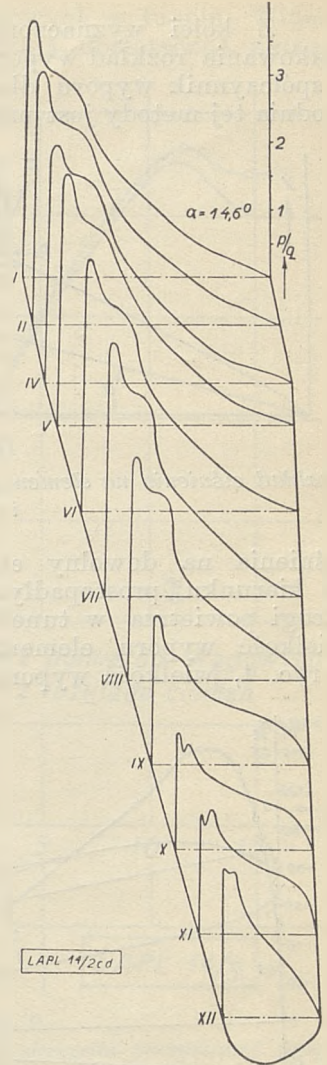
Ryc. 2 a.



Ryc. 2 b.

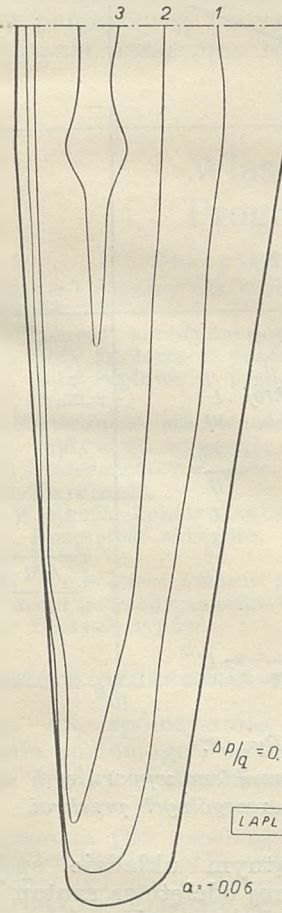


Ryc. 2 c.

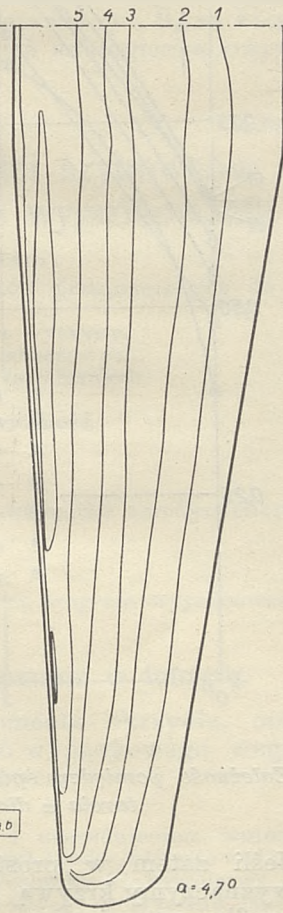


Ryc. 2 d.

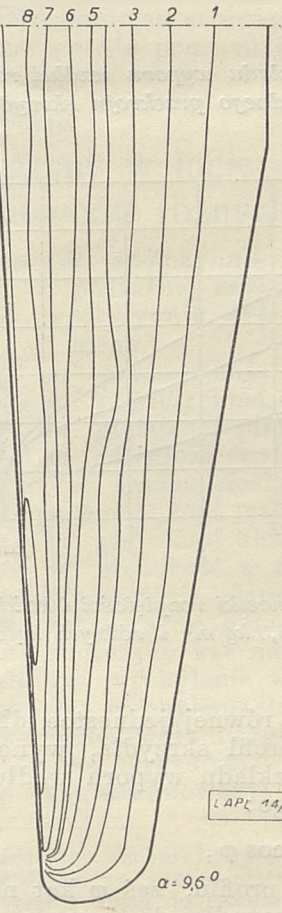
Rozkład ciśnień wypadkowych z ciśnień na powierzchnię górną i dolną przedstawiony przez stosunek  $p/q$ .



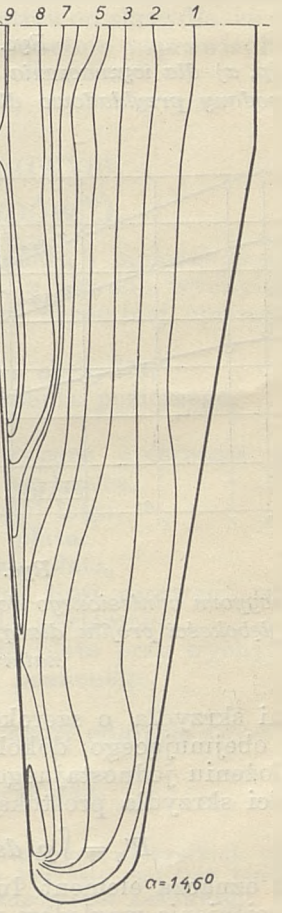
Ryc. 3 a.



Ryc. 3 b.



Ryc. 3 c.



Ryc. 3 d.

Linje równych ciśnień wypadkowych.

\*



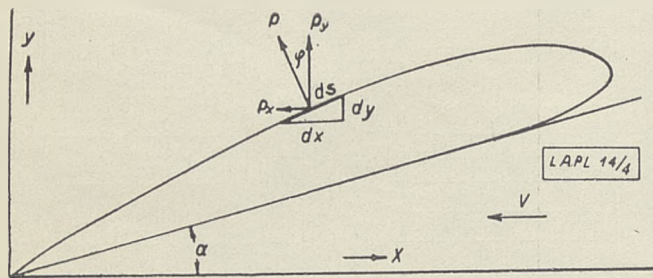
Z kolei wyznaczono przy pomocy graficznego całkowania rozkład wyporu wzdłuż rozpiętości skrzydła i współczynnik wyporu dla całego skrzydła. Myśl przewodnia tej metody jest następująca: Ponieważ składowa

całkowanie odbywa się przytem wzdłuż obwodu profilu. Ponieważ

$$ds \cdot \cos \varphi = dx,$$

przeto:

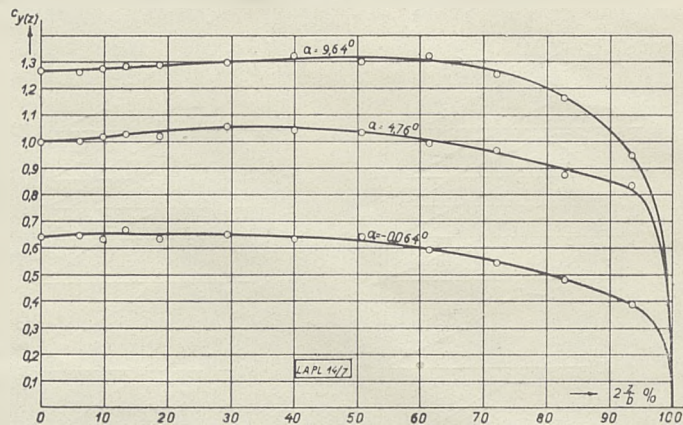
$$P'_y = \int p \cdot dx.$$



Ryc. 4.

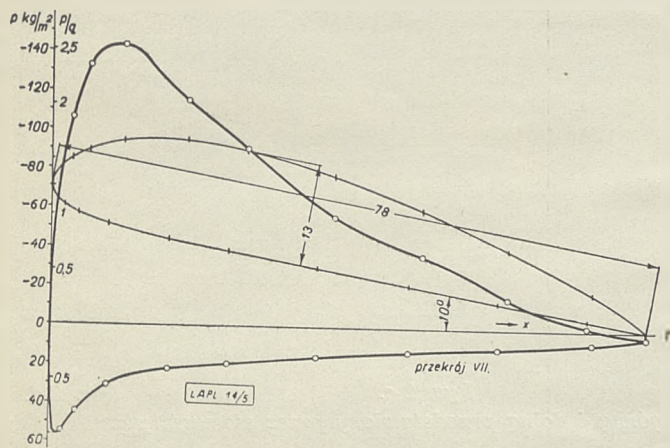
Rozkład ciśnienia na element powierzchni na składową wyporu i oporu.

ciśnienia na dowolny element powierzchni skrzydła, w kierunku prostym do kierunku prędkości  $v$  strugi powietrza w tunelu aerodynamicznym, oznacza wielkość wyporu elementarnego, przeto, jak wynika z ryc. 4, wielkość wyporu, pochodzącego od paska po-



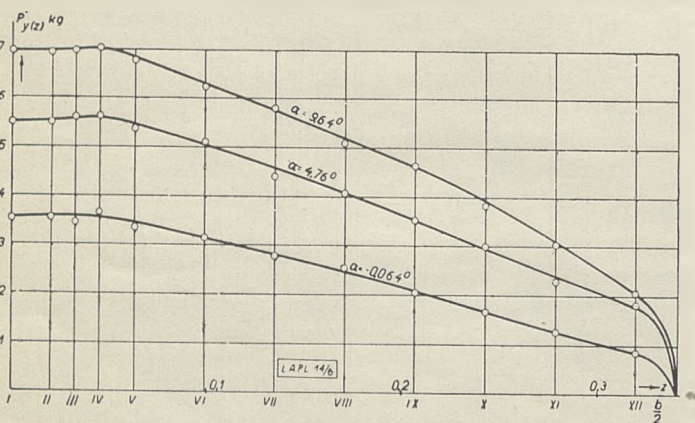
Ryc. 7.

Rozkład współczynnika wyporu  $c_{y(z)}$  wzdłuż rozpiętości.



Ryc. 5.

Wylines ( $p, x$ ) dla wyznaczenia rozkładu wyporu wzdłuż rozpiętości podany przykładowo dla jednego przekroju skrzydła.



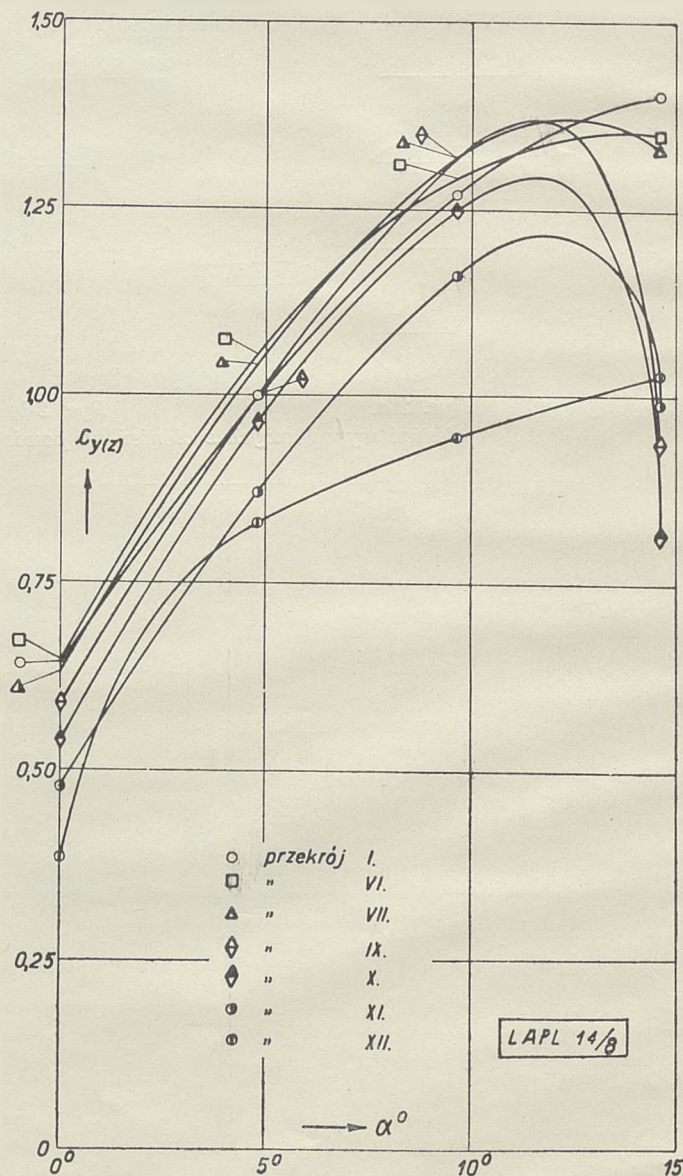
Ryc. 6.

Rozkład wyporu odniesionego do jednostki rozpiętości i każdorazowej głębokości profilu dla  $q = 56,3 \text{ kg/m}^2$  i różnych kątów natarcia.

wierzchni skrzydła o szerokości równej jednostce długości i obejmującego dokoła profil skrzydła, wynosi przy założeniu jednostajnego rozkładu wyporu wzdłuż rozpiętości skrzydła prostokątnego:

$$P'_y = \int p \cdot ds \cdot 1 \cdot \cos \varphi,$$

gdzie  $ds$  oznacza element łuku profilu, zaś  $\varphi$  kąt nachylenia ciśnienia względem prostopadłej do kierunku  $v$ ;



Ryc. 8.

Zależność pomiędzy współczynnikiem wyporu  $c_{y(z)}$  i kątem natarcia  $\alpha$  dla poszczególnych przekroji.

Jeśli zatem w prostokątnym układzie współrzędnych wyznaczmy krzywą, której odcięte są rzutami punktów profilu ustawionego względem osi  $x$ -ów pod kątem



natarcia  $\alpha$ , zaś rzędne przedstawiają wielkości ciśnień całkowitych  $p$  w odnośnym punkcie profilu (ryc. 5), to pole  $A$ , objęte tą krzywą, wyznaczone planimetrem, wyznaczy nam wielkość  $P'_y$ .

Celem wyznaczenia współczynnika bezwymiarowego wyporu  $c_{y(z)}$  w dowolnym przekroju skrzydła, ustawiamy wzór:

$$P'_{y(z)} = c_{y(z)} \cdot q \cdot t_z \cdot 1,$$

gdzie  $t_z$  oznacza głębokość profilu w miejscu  $z$ . Stąd

$$c_{y(z)} = \frac{P'_{y(z)}}{q \cdot t_z} = \frac{A_z}{q \cdot t_z}.$$

Rozkład wyporu  $P'_{y(z)}$  wzdłuż rozpiętości rozpatrywanego skrzydła dla różnych kątów natarcia przy  $q = 56,3 \text{ kg/m}^2$  podaje ryc. 6, zaś zależność wielkości współczynnika  $c_{y(z)}$  od procentu rozpiętości skrzydła ryc. 7.

Na ryc. 8 przedstawiono wreszcie zależność pomiędzy współczynnikiem  $c_{y(z)}$  i kątem natarcia  $\alpha$  dla poszczególnych przekroi. Dla części środkowej skrzydła w granicach kątów  $\alpha$ , odpowiadających „zrowemu” przepływowi, krzywe ( $c_{y(z)}$ ,  $\alpha$ ) dla poszczególnych przekroi wpadają prawie na siebie, co oznacza, że zmiana współczynnika  $c_{y(z)}$  ze zmianą kąta  $\alpha$  odbywa się w każdym przekroju w sposób prawie identyczny.

Dla znalezienia wartości całkowitego wyporu  $P_y$  względnie współczynnika wyporu  $c_y$  ustawiamy zależność:

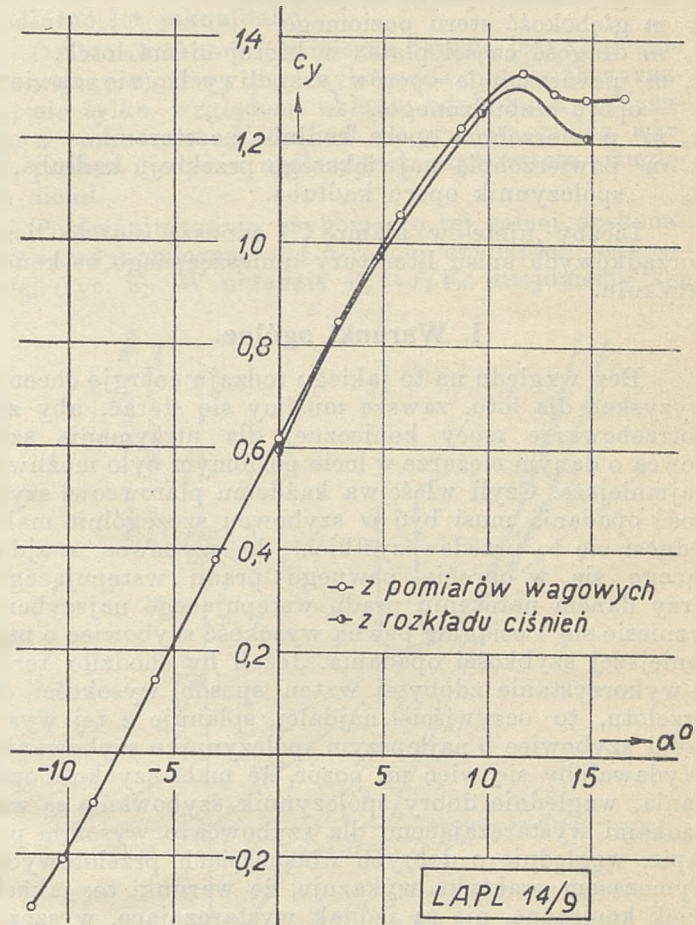
$$P_y = 2 \cdot \int_0^{b/2} P'_{y(z)} \cdot dz,$$

gdzie  $b$  oznacza rozpiętość skrzydła. Wartość podanej całki można łatwo wyznaczyć przez splanimetrowanie pola określonego przez poszczególne krzywe na ryc. 6. Wartości współczynnika wyporu  $c_y$  wyznaczamy następnie ze wzoru:

$$c_y = \frac{P_y}{F \cdot q},$$

gdzie  $F$  oznacza powierzchnię rzutu skrzydła na płaszczyznę prostopadłą do płaszczyzny symetrii skrzydła. Zależność pomiędzy  $c_y$  i  $\alpha$  przedstawia ryc. 9, na której dla porównania naniesiono również analogiczną krzywą

otrzymaną z pomiarów wagowych w tunelu. Widoczne jest, że obie krzywe wykazują dostateczną zgodność,



Ryc. 9.

Porównanie krzywej ( $c_y$ ,  $\alpha$ ) dla skrzydła otrzymanej przy pomocy wagi aerodynamicznej i sondy ciśnień statycznych.

pominąwszy oczywiście rozbieżność, występującą po oderwaniu się strugi powietrza od skrzydła, co ze względu na metodę pomiaru jest zupełnie usprawiedliwione.<sup>1</sup>

Adam Nowotny.

## Własności szybowców i wyczyny w locie żaglowym. Program wypróbowania szybowców różnych typów\*).

Przegląd treści:

I. Warunki ogólne dla szybowców przeznaczonych do lotów żaglowych.

II. Własności aerodynamiczne a wyczyny.

1. Loty żaglowe w prądach boczowych.
2. Loty żaglowe w prądach termicznych.
3. Przeloty.

III. Stateczność, sterowność, zwrotność.

1. Wpływ na wyczyny.
2. Stateczność i czułość.
3. Zwrotność.

IV. Wielkości konstrukcyjne a własności aerodynamiczne.

1. Rozpiętość skrzydła.
2. Profil.
3. Obrys i zwicherung płata.

V. Luki i potrzeby naszego taboru, program wypróbowania szybowców różnych typów.

### Niektóre oznaczenia stosowane w tekście.

$c_{mE}$ ,  $c_{mH}$ ,  $c_{mG}$  współczynniki momentu skrzydła, opierzenia poziomego i momentu wypadkowego, względem środka ciężkości szybowca,

$c_{mr}$ ,  $M_r$  współczynnik momentu i moment względem osi podłużnej szybowca, z powodu wychylenia lotek,

$c_{nH}$  współczynnik składowej normalnej opierzenia poziomego,

$F$   $m^2$  powierzchnia nośna skrzydła,

$F_H$   $m^2$  powierzchnia opierzenia poziomego,

$t$   $m$  głębokość płata,

$l_H$   $m$  odległość środka wyporu opierzenia poziomego od środka ciężkości szybowca,

$t_Q$   $m$  głębokość (szerokość) lotki,

$t_Z$   $m$  głębokość końców płata.

$t_W$   $m$  głębokość w środku płata,

$\alpha$  kąt natarcia płata wzgl. linii zerowego wyporu,

$\alpha_H$  kąt natarcia opierzenia poziomego,

$\alpha_Q$  skuteczny kąt natarcia płata przy wychyleniu lotki,

$\beta_H$  kąt wychylenia steru poziomego,

$\beta_Q$  kąt wychylenia lotek,

$\kappa$  współczynnik uwzględniający odgięcie strug powietrza za skrzydłem,

$\sigma$  kąt zaklinowania statecznika,

\*) Praca ta jest rozwinięciem i uzasadnieniem wniosku o programie budowy i wypróbowania szybowców, który to wniosek przedstawiony był przez Instytut Techniki Szybownictwa na Zebraniu Polskiego Komitetu Szybowcowego w styczniu 1933 r.

Instytut Techniki Szybownictwa prosi wszystkich zawodowców z dziedziny szybownictwa o dyskusję nad tym tematem i nadsyłanie uwag do Redakcji *Czasopisma Lotniczego*.



- $\tau$  współczynnik zależny od podziału opierzenia poziomego,
- $t_{II}$  m głębokość opierzenia poziomego,
- $t_{II}$  m głębokość steru poziomego,
- $b_w$  m długość części płata, w której nie ma lotek,
- $f_{sz}$  m<sup>2</sup> powierzchnia oporów szkodliwych (nie zawiera oporu wzbudzonego),
- $f_{kz}$  m<sup>2</sup> powierzchnia oporu kadłuba ze sterami,
- $f_k$  m<sup>2</sup> powierzchnia największego przekroju kadłuba,
- $c_{zk}$  współczynnik oporu kadłuba.

Liczby ujęte w klamrę [ ] odnoszą się do liczb porządkowych spisu literatury umieszczonego na końcu artykułu.

### I. Warunki ogólne.

Bez względu na to jakiego rodzaju energję chcemy wyzyskać dla lotu, zawsze musimy się starać, aby zapotrzebowanie mocy koniecznej dla utrzymania szybowca o danym ciężarze w locie poziomym było możliwie najmniejsze. Czyli właściwa każdemu płatowcowi szybkość opadania musi być w szybowcu szczególnie małą. Odnosi się to przede wszystkim do szybowca znajdującego się w obrębie pewnego prądu wstępującego. Przy danym natężeniu prądu wstępującego najszybciej wzniesie się i osiągnie pewną wysokość szybowiec o najmniejszej szybkości opadania. Jeżeli by chodziło teraz o wykorzystanie zdobytej w ten sposób wysokości do przelotu, to oczywiście najdalej splanuje z tej wysokości szybowiec o najlepszym współczynniku szybowania. Wydawałoby się więc na pozór, że mała szybkość opadania, względnie dobry współczynnik szybowania są warunkami wystarczającymi dla szybowca o wysokim pułapie, względnie o dobrych własnościach przelotowych. Tymczasem praktyka wykazuje, że warunki te, jakkolwiek konieczne, nie są jednak wystarczające, w szczególności jeśli chodzi o szybowiec przelotowy. Prądy wstępujące terenowe, umiejscowione wprawdzie w przestrzeni zmieniają swoje natężenie zależnie od pochyłości stoku i szybkości wiatru; prądy wstępujące pochodzenia termicznego, prądy wstępujące atmosfery „wolnej“ zmieniają się szybko w czasie i w przestrzeni. Do warunków określających więc pułap w umiejscowionym strumieniu wstępującego powietrza i zasięg w powietrzu spokojnym, dochodzi jeszcze w praktyce lotów żaglowych szybkość po torze i użyteczna rozpiętość szybkości. Znaczenie tych czynników czysto nawigacyjnych jest jeszcze ciągle niedoceniane.

### II. Własności aerodynamiczne a wyczyny.

Z warunku równowagi sił działających na szybowiec w locie wynika, że szybkość opadania:

$$V_y = 4 \frac{c_x}{c_y^{1,5}} \sqrt{G/F}$$

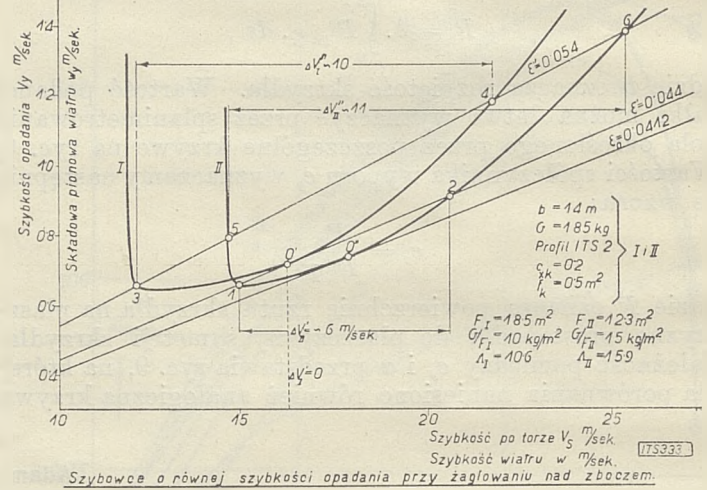
Szybkość opadania można więc zmniejszyć albo przez zmniejszenie obciążenia powierzchni nośnej  $G/F$ , albo przez zwiększenie doskonałości aerodynamicznej  $\frac{c_y}{c_x}$ .

Obydwa sposoby stosuje się w budowie szybowców. Początkowo, nie zmieniając doskonałości aerodynamicznej ówczesnych płatowców, starano się zmniejszyć do minimum obciążenie powierzchni nośnej. Zasługuje tu na uwagę szybowiec dwupłat Fokker'a z 1922 r., który posiadał obciążenie 4,6 kg/m<sup>2</sup> powierzchni nośnej. Jest to jednak błąd zasadniczy, pokutujący do dziś jeszcze w budowie szybowców. Nawigacyjne bowiem względy, uwarunkowane metodyką lotów żaglowych, nie pozwalają zmniejszać zbyt obciążenia powierzchni nośnej, gdyż od niego zależy szybkość własna szybowca. W większości zaś wypadków ma ona m. i. wcale niepośledni wpływ na zdolności żaglowe szybowca i wyczyny.

### 1. Loty żaglowe w prądach zboczowych.

Okazało się w praktyce, że w prądach wiatru wstępującego nad stokiem górskim szybowce, bardzo lekkie w stosunku do powierzchni nośnej, znacznie gorzej żaglują przy silnym wietrze aniżeli szybowce ciężkie. Naodwrot dzieje się przy bardzo słabych wiatrach.

Chcąc na „lekkim“<sup>1)</sup> szybowcu utrzymać się przy silnym wietrze przed stokiem górskim przy żaglowaniu wzdłuż zbocza, trzeba, silnie „dusząc“, lecieć na znacznie mniejszym kącie natarcia niżby to odpowiadało najmniejszej szybkości opadania, a więc bardzo nieoekonomicznie. Przy takim sztucznym zwiększeniu szybkości po torze, zwiększa się również szybkość opadania. Ryc. 1 przedstawia tę zależność dla dwóch szybowców: Szybowiec I, lekki, o obciążeniu 10 kg/m<sup>2</sup>, oraz szybowiec II, ciężki, o obciążeniu 15 kg/m<sup>2</sup>. Przyjęto przytem dla obu szybowców: tę samą rozpiętość płata, zatem zgodnie z p. 1 rozdz. V. nin. pracy, również ten sam ciężar, ten sam opór szkodliwy części nienośnych (ten sam kadłub i opierzenie), a zmieniono jedynie wielkość powierzchni nośnej. W związku z tem szybowiec II posiada większe wydłużenie, przez co ostatecznie obydwaj szybowce posiadają to samo minimum szybkości opadania. Porównujemy więc dwa szybowce o tej samej szybkości opadania, ale o różnej szybkości jednostkowej<sup>2)</sup>.



Szybowce o równej szybkości opadania przy żaglowaniu nad zboczem.

Ryc. 1.

Pomiary aerologiczne [1] wykazują, że po stronie nawietrznej, w pobliżu stoku, wiatr ma w przybliżeniu zawsze kierunek równoległy do powierzchni stoku (za wyjątkiem wypadku chwiejnej równowagi atmosfery, kiedy występują silniejsze prądy termiczne). Jeśli więc przyjmiemy, że składowa pionowa  $w_y$  wiatru w pobliżu stoku jest proporcjonalna do szybkości  $w$  wiatru czyli, że dla danego stoku  $w_y/w = \text{const} = \epsilon$ , wówczas prosta  $w_y = \epsilon \cdot w$ , odcina na odpowiednich krzywych  $V_y = f(V_s)$  odcinki, w obrębie których zachodzi conajmniej równo-

<sup>1)</sup> W dalszym ciągu będę używał skrótów: Szybowiec lekki i szybowiec ciężki, zamiast szybowiec o małym i dużym obciążeniu powierzchni nośnej. „Lekki“ i „ciężki“ nie należy więc rozumieć dosłownie, ale w stosunku do powierzchni nośnej.

<sup>2)</sup> Przyjęty ogólnie skrót: Szybowiec o szybkości opadania  $x$  m/sek, znaczy ściśle: Szybowiec, którego szybkość opadania najmniejsza możliwa wynosi  $x$  m/sek.

Szybkość jednostkowa  $V_I = 4 \sqrt{G/F}$  (Everling, Einheitsgeschwindigkeit) t. j. szybkość przy kącie natarcia odpowiadającym  $c_y = 1$ . Ponieważ lot normalny (przy najmniejszym współczynniku szybowania i przy najmniejszej szybkości opadania) przy używanych obecnie profilach leży zwykle w pobliżu  $c_y = 1$ , przeto jest to stan lotu, na który szybowiec winien być wyważony przy luźno puszczonej sterze; zatem szybkość jednostkowa przedstawia niejako „naturalną“ szybkość po torze szybowca, uzyskaną bez specjalnego „duszenia“.







Należy zwrócić uwagę, że w omawianym układzie przyjęliśmy dla szybowca ciężkiego bardzo niekorzystne wykończenie aerodynamiczne. Zwiększyć bowiem obciążenie powierzchni nośnej przy tejsamej rozpiętości, to znaczy zwiększyć wydłużenie, a temsamem i doskonałość aerodynamiczną. Ażeby dla szybowca lekkiego otrzymać tą samą doskonałość musieliśmy przyjąć powierzchnię oporu szkodliwego części nienośnych  $f_{xk III} = 0,074$  t. j. o 26% mniej niż dla szybowca ciężkiego. Przykład powyższy jest więc pod tym względem nierealny. Chodziło tu tylko o stwierdzenie przewagi szybowca ciężkiego wobec szybowca lekkiego o tejsamej nawet doskonałości aerodynamicznej w warunkach występujących przy przelotach.

Jak widać, z dwóch szybowców o tej samej doskonałości aerodynamicznej  $E$ , szybowiec, który posiada przy tej doskonałości większą szybkość  $V_e$ , będzie w przelocie korzystniejszym. Iloczyn  $E \cdot V_e$ , może więc być miarą zdatności szybowca do przelotów.

### III. Stateczność, sterowność, zwrotność.

#### 1. Wpływ na wyczyny.

Obok własności aerodynamicznych, o wyczynach w locie żaglowym decydują jeszcze inne własności szybowców jak: stateczność, sterowność i zwrotność. Wpływ tych czynników na wyczyny jest dwójakiego rodzaju: Z jednej strony ułatwiają pilotowi pracę w powietrzu, z drugiej zaś decydują o możliwości wyzyskania pewnych sytuacji meteorologicznych, a w szczególności ograniczonych prądów wstępujących.

Należy żądać, aby szybowiec był dostatecznie statecznym przy sterze „zablokowanym“ jak i luźno puszczone. Przy locie w powietrzu burzliwym mała stateczność przy „zablokowanym“ sterze zmusza do ciągłej i wyteżającej pracy sterami. Dla lotów w chmurach pożądana jest nadto dostateczna stateczność przy wolno puszczonej sterze: Ułatwi to znacznie latanie bez horyzontu, w szczególności przy krążeniu. Należy pamiętać, że przecież w chmurach kłębiastych, dzięki wydzielającemu się ciepłu parowania panują prawie że najsilniejsze prądy wstępujące i że cumulusy są najczęstszymi i najobfitszymi źródłami energii dla lotu szybowego. Żeby je móc wogóle wykorzystać w czasie przelotów, szybowiec musi być nadto dostatecznie zwrotnym. Dzisiaj już nie ulega wątpliwości, że na szybowcu statecznym, a przytem zwrotnym, nawet o nienajlepszych własnościach aerodynamicznych, osiągnąć można więcej aniżeli na szybowcu o wysrubowanych własnościach aerodynamicznych, uzyskanych kosztem stateczności i zwrotności.

Należy się nadto liczyć z psychologią pilota: Gdy szybowiec jest stateczny a przytem posłuszny i zwrotny, czyli określając słowami pilota „przyjemny“, to w niejednej krytycznej sytuacji podnosi zaufanie pilota osobiste i do maszyny, a temsamem zwiększa jego sprawność. Wiadomo wprawdzie, że po mniej lub więcej długim treningu można się przyzwyczaić do każdej, nawet bardzo niestatecznej maszyny, ale choćby wpływ małej stateczności na wyczyny, to użyteczność takiego szybowca pozostanie ograniczona, będzie on zawsze dostępny jedynie nielicznym wybranym. Jeżeli chodzi o zwrotność, to tu już nie pomoże nawet najdłuższy trening.

#### 2. Stateczność i czułość.

Jako kryterjum stateczności podłużnej przyjmuje się zwykle warunek:

$$dc_{mg}/d\alpha > 0,$$

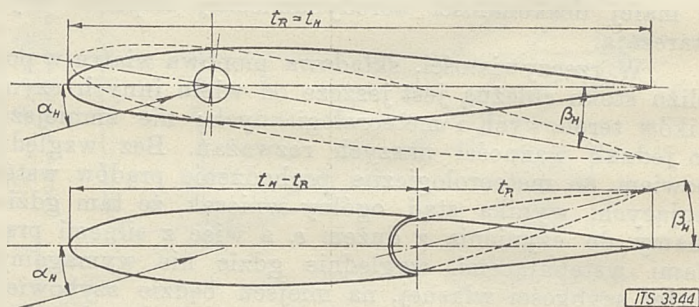
względnie:

$$dc_{mg}/dc_y > 0,$$

co ze względu na linią (w zakresie kątów używanych w locie) zależność  $c_y$  od  $\alpha$  jest jednoznaczne. Wielkość  $dc_{mg}/d\alpha$  jest według Haus'a [2] miarą stateczności statycznej podłużnej. Określa ona wielkość przyrostu wypadkowego momentu sił aerodynamicznych działających na układ: skrzydło — opierzenie poziome, przy zmianie kąta natarcia płata. Przyjęcie znaków jest tego rodzaju, że  $dc_{mg}/d\alpha > 0$ , o ile przy zadarciu przodu szybowca do góry (zwiększenie kąta natarcia  $\alpha$ ), powstaje moment dążący do przywrócenia pierwotnego położenia. Warunek ten, używany zresztą powszechnie przy obliczeniu wielkości opierzenia poziomego, jest jednak warunkiem jedynie koniecznym, ale nie jest wystarczającym. Blenk [3] wykazał, że do wystarczającego warunku stateczności statycznej podłużnej dojsz można tylko, rozpatrując równowagę dynamiczną w czasie obrotu pławowca około środka ciężkości. Okazuje się wtedy, że miarą stateczności statycznej podłużnej przy zablokowanym sterze może być stosunek przyrostów: wychyleń steru  $\beta_H$ , do odpowiadających im przyrostów kąta natarcia płata  $\alpha$ . Warunkiem stateczności jest znowu:  $d\beta_H/d\alpha > 0$ .

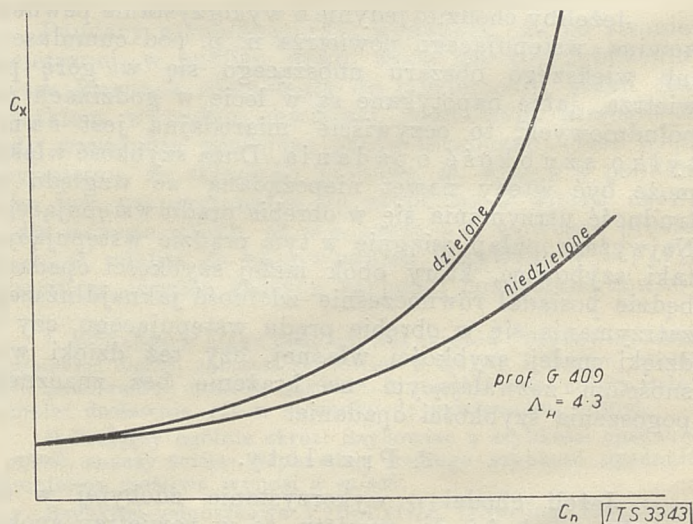
Odwrotność tego stosunku t. j.  $d\alpha/d\beta_H$  jest miarą czułości steru.

Dla stateczności przy luźno puszczonej sterze miarodajny jest natomiast  $dP/d\alpha$  t. j. stosunek przyrostu siły, jaką trzeba przyłożyć do drążka sterowego, do wywołanej w ten sposób zmiany kąta natarcia.



Ryc. 3.

W budowie szybowców wyczynowych modne są obecnie opierzenia poziome niedzielone (ryc. 3). Chodzi tu głównie o lekkość i małe opory szkodliwe. Opierzenie niedzielone (Balance-Ruder) da się zbudować



Ryc. 4.

znacznie lżej aniżeli opierzenie dzielone, ze statecznikiem. Również opory szkodliwe przy wychyleniach opierzenia niedzielonego są mniejsze, niż przy równie skutecznych wychyleniach steru opierzenia dzielonego (ryc. 4).



## 3. Zwrotność.

Jako miarę zwrotności możnaby dla szybowców przyjąć szybkość kątową obrotu około osi podłużnej, wywołaną pewnym wychyleniem lotek przy „wkładaniu” do skrzywienia. W praktyce zachodzi bowiem potrzeba wykonania „głębokich” skrzywień w dwóch wypadkach: W atmosferze „wolnej” w razie napotkania prądu wstępującego, oraz przy podchodzeniu do lądowania. Żeby nie zgubić napotkanego prądu wstępującego powietrza, zachodzi potrzeba przejścia z lotu prostego w skręt o stałej przyspieszającej krzywiznie w czasie możliwie najkrótszym. Ten czas jest odwrotnie proporcjonalny do szybkości kątowej obrotu około osi podłużnej. Również, ważny w czasie podchodzenia do lądowania w terenie zazwyczaj dzikim, promień najciaśniejszej krzywizny, a więc przy danej szybkości najkrótszy czas potrzebny do wykonania zwrotu o  $180^\circ$ , według Lachmanna [6], zależy także od szybkości kątowej obrotu około osi podłużnej przy wkładaniu do skrzywienia.

Rachunek [6] i doświadczenie [7] wykazują, że wpływ momentu bezwładności skrzywdła względem osi podłużnej na szybkość kątową obrotu można pominąć, o ile tylko stosunek momentu sił aerodynamicznych  $M_r$ , z powodu wychylenia lotek, do momentu bezwładności nie jest zbyt mały. Wówczas szybkość kątowa obrotu około osi podłużnej:

$$\omega = \frac{12 c_{mr} \cdot V}{b \cdot \frac{dc_n}{da}},$$

jest zatem odwrotnie proporcjonalna do rozpiętości  $b$  i wydłużenia  $\Delta$  płata, ponieważ:

$$\frac{dc_n}{da} \sim \frac{dc_q}{da} = \frac{1,8 \cdot \pi}{1 + \frac{1,8}{\Delta}}.$$

Zależności powyższe ważne są tylko w zakresie kątów natarcia, w którym wypór rośnie w przybliżeniu linjowo z kątem. Z powodu obrotu następuje jednak zmiana kąta natarcia wzdłuż rozpiętości płata, co może spowodować przekroczenie kąta krytycznego po stronie wewnętrznej skrzywienia. Grozi to samoczynnym zwiększeniem szybkości obrotu (autorotacją), nieczułem na wychylenia lotek. Opanowanie szybowca w tym stanie jest trudne i ostatecznie kończy się ślizgiem względnie przejściem „na głowę”, co jest niepożądane w powietrzu ze względu na znaczne zwiększenie szybkości opadania, a może być niebezpieczne przy ziemi. Żeby temu zapobiec, stosuje się zwichrzenie płata.

Zmiana kąta natarcia profilu zewnętrznych końców płata:

$$\Delta\alpha = \pm \frac{\omega \cdot b/2}{V},$$

po wstawieniu wartości na  $\omega$ :

$$\Delta\alpha = \pm \frac{6 c_{mr}}{dc_n/da}.$$

Spółczynnik momentu sił aerodynamicznych względem osi podłużnej z powodu wychylenia lotek  $c_{mr}$ , zależy od obrysu oraz powierzchni płata i lotek i rośnie linjowo z wychyleniem lotek  $\beta_Q$  [8].

$$c_{mr} = \frac{M_r}{b \cdot F \cdot q} \sim \sqrt{\frac{t_Q}{t}} \left[ 1 - \left( \frac{b_w}{b} \right)^2 \right] \cdot \beta_Q^3.$$

Dla płata trapezowego o zbieżności  $t_x/t_w = 1:4$ , o wydłużeniu  $\Delta = 18$ , i przy rozpiętości lotek  $(b - b_w) = 2/3 \cdot b$ , jak to się zwykle stosuje, otrzymamy według Mathiasa<sup>3)</sup>:

$$c_{mr} = 0,833 \cdot \sqrt{\frac{t_Q}{t}} \cdot \beta_Q.$$

<sup>3)</sup> Według Mathias'a [8] jest dla płata trapezowego o zbieżności  $t_x/t_w$ :

Jeżelibyśmy chcieli znaleźć wpływ podziału opierzenia poziomego na stateczność metodą stosowaną przy obliczeniu wielkości opierzenia, tworząc  $dc_m/da$ , to okaże się, że podział nie wpływa na wielkość współczynnika stateczności. To nie zgadza się z doświadczeniem, bo też  $dc_m/da$  jest tylko koniecznym warunkiem stateczności.

Spółczynnik wypadkowego momentu sił aerodynamicznych:

$$c_{mG} = c_{mF} - c_{mH}$$

$$\text{gdzie: } c_{mH} = c_{nH} \cdot \frac{l_H \cdot F_H}{t \cdot F}.$$

Zgodnie z pomiarami w tunelach [4], jest:

$$C_{nH} = \frac{dc_{nH}}{d\alpha} (\alpha_H - \tau \beta_H),$$

względnie wyrażając  $\alpha_H$  przez  $\alpha$ :

$$\alpha_H = \kappa \cdot \alpha - \sigma,$$

$$c_{nH} = \frac{dc_{nH}}{d\alpha} (\alpha \kappa - \sigma - \tau \beta_H).$$

$\tau$  jest zależne od podziału:  $\tau = f(t_H/t_H)$ . Zależność tę określa szereg wzorów empirycznych. Dla opierzenia niedzielonego jest  $\tau = 1$ , dla opierzenia dzielonego  $\tau < 1$ .

$$\text{Oznaczając: } C = \frac{l_H \cdot F_H}{F \cdot t} \cdot \frac{dc_{nH}}{d\alpha},$$

oraz przez  $\bar{\beta}_H$  wychylenie steru przy jakim momenty sił aerodynamicznych równoważą się, otrzymamy:

$$c_m = c_{mF} - C(\alpha \kappa - \sigma - \tau \beta_H) = 0.$$

Widać, że  $dc_m/da$  nie zależy od  $\tau$ , natomiast:

$$\frac{d\bar{\beta}_H}{d\alpha} = \left( C\kappa - \frac{dc_{mF}}{d\alpha} \right) \cdot \frac{1}{\tau}$$

$$\text{czyli: } \frac{d\bar{\beta}_H}{d\alpha} \sim \frac{1}{\tau}.$$

Opierzenie poziome ze statecznikiem dzieli się zwykle w stosunku  $t_H/t_H = 0,42$ ; dla tego podziału jest  $\tau = 0,55$ , natomiast dla opierzenia niedzielonego jest  $\tau = 1$ . Przy tej samej zatem powierzchni, profilu, obrysie i tej samej odległości od środka ciężkości, stateczność statyczna podłużna przy zablokowanym sterze, przy opierzeniu ze statecznikiem jest  $1/0,55 = 1,82$ , okrągło 2 razy większa, aniżeli przy opierzeniu niedzielonym.

Dla stateczności podłużnej przy luźno puszczonej sterze miarodajny jest przyrost siły, jaką należałoby wyrzucić na drążek sterowy, aby wywołać pewien przyrost kąta natarcia płata. Ponieważ wielkość siły na drążku sterowym zależy od ciężarowego i aerodynamicznego wyważenia steru, oraz całego mechanizmu sterowego, trudno ogólnie przeprowadzić podobne porównanie liczbowo. W każdym razie okazuje się [3], że stateczność jest tem większa, im większy jest moment ciężaru steru względem osi obrotu. Na pierwszy rzut oka widać (ryc. 3), że moment ciężarowy steru opierzenia dzielonego (o ile niema np. bocznego odciążenia aerodynamicznego), będzie zawsze większy niż opierzenia niedzielonego. Stateczność podłużna przy luźno puszczonej sterze przy opierzeniu dzielonym będzie zawsze mniejsza niż przy dzielonym, o ile nie zastosujemy sztucznych sposobów zwiększenia momentu ciężarowego.

W lotach żaglowych, duża czułość steru wysokości jest niepożądana. Wprost przeciwnie, szybowiec winien być statecznym tak dalece, aby nie trzeba było się wogóle troszczyć o ster głębokości [5]. Wobec dużego znaczenia lotów w chmurach kłębiastych, należałoby więc może powrócić w budowie szybowców „wyczynowych” do opierzeń poziomych ze statecznikami.



Przy stałym stosunku głębokości lotek do głębokości płata  $t_Q/t = 0,25$ , otrzymamy po wstawieniu w równanie na  $\Delta\alpha$ :

$$\Delta\alpha = \pm 2,72 \beta_Q.$$

Przy wychyleniu lotek o kąt  $\pm 10^\circ$ , zmiana kąta natarcia końców płata przy obrocie około osi podłużnej wyniosłaby  $\pm 27^\circ$ . Przypuśćmy, że szybowiec zostaje włożony do skrętu przy szybkości nieco większej niżby to odpowiadało doskonałości, a więc np. przy  $c_y = 0,8$ . Dla profilu G.535 osiągnię się to przy kącie natarcia  $\sim 8^\circ$ , natomiast oderwanie nastąpi przy  $\sim 21^\circ$  (mierzone względem linii zerowego wyporu). Celem uniknięcia oderwania przy wkładaniu, należałoby zwichrzyc płat o kąt  $[27 - (21 - 8)] = 14^\circ$ . W istocie jednak, wskutek wychylenia lotek płat już jest zwichrzony. Z powodu wychylenia lotek o kąt  $\beta_Q$ , zmienia się bowiem skuteczny kąt natarcia według Toussaint'a [9] i [8], o wartość:

$$\alpha_Q = \beta_Q \left[ \frac{4}{\pi} \cdot \sqrt{\frac{F_Q}{F}} \left( 1 - 0,215 \cdot \frac{F_Q}{F} \right) - 0,05 \beta_Q \right],$$

przyczem  $F_Q$  jest powierzchnią obu lotek, zaś  $F$  całkowitą powierzchnią płata. W naszym wypadku otrzymamy  $\alpha_Q = \sim 5^\circ$ , zatem pozostaje do zwichrzenia  $\sim 9^\circ$ .

Ze względu na zwrotność, duża rozpiętość jest niepożądana. Szybkość bowiem kątowna obrotu około osi podłużnej przy wkładaniu do skrętu, maleje z rozpiętością. Żeby uzyskać tę samą szybkość włożenia do skrętu, trzeba przy większej rozpiętości odpowiednio silnie wychylić lotki. To zaś wymaga większego zwichrzenia płata, które jak dalej zobaczymy, niweczy korzyści aerodynamiczne jakie daje duża rozpiętość.

#### IV. Wielkości konstrukcyjne a własności aerodynamiczne.

##### 1. Rozpiętość płata.

W zakresie kątów natarcia używanych w locie, do kąta natarcia odpowiadającego najmniejszemu współczynnikowi szybowania włącznie, biegunowe obecnych szybowców można w przybliżeniu zastąpić przez łuk paraboli o równaniu:

$$P_x = q f_{xs} + \frac{P_y^2}{\pi \cdot q \cdot b_i}$$

przyczem:

$$f_{xs} = c_{xp} \cdot F + c_{xk} \cdot f_k.$$

Zależność ta jest zupełnie dokładna o ile uwzględnimy, że w ogólności jest  $f_{xs} = f(P_y)$ . Przybliżenie zaś  $f_{xs} = \text{const}$  jest zupełnie wystarczające w zakresie kątów, które nas głównie interesują. W pobliżu minimum współczynnika szybowania jest nadto  $P_y \sim G$ , zatem:

$$P_x = q \cdot f_{xs} + \frac{G^2}{\pi q b_i}.$$

Doskonałość aerodynamiczną określa minimum oporu. Przyrównując więc  $dP_x/dv$  do zera, łatwo znaleźć szybkość odpowiadającą najmniejszemu współczynnikowi szybowania:

$$V_e = 3 \left( \frac{G}{b_i f_{xs}^{1/2}} \right)^{1/2},$$

oraz doskonałość:

$$E = \frac{G}{P_{x \min}} = 0,885 \cdot \frac{b_i}{f_{xs}^{1/2}}.$$

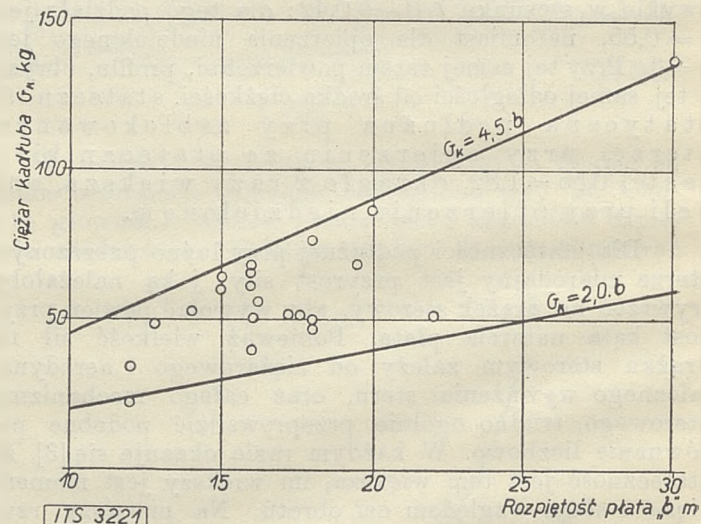
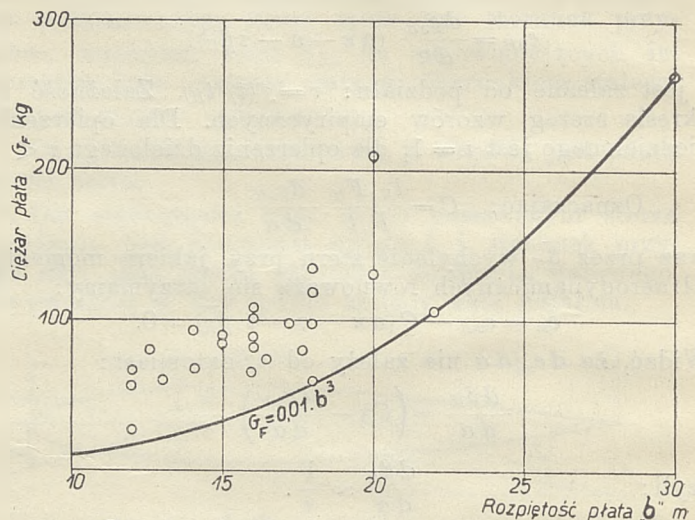
$$c_{mv} = 1,8 \pi \cdot f_{MQ} \cdot \sqrt{\frac{t_Q}{t}} \cdot \beta_Q \left[ \left\{ 1 - \left( \frac{b_w}{b} \right)^2 \right\} \cdot \left( 1 - \frac{1}{3} \frac{1-t_z/t_w}{1+t_z/t_w} \right) - \frac{4}{3} \left( \frac{b_w}{b} \right)^2 \left( 1 - \frac{b_w}{b} \right) \frac{1-t_z/t_w}{1+t_z/t_w} + 2 \left( \frac{f_{QA}}{f_{MQ}} - 1 \right) \frac{b_w}{b} \left( 1 - \frac{b_w}{b} \right) \left( 1 - \frac{b_w}{b} \cdot \frac{1-t_z/t_w}{1+t_z/t_w} \right) \right]$$

gdzie:

$$\frac{f_{QA}}{f_{MQ}} = \frac{1}{1+1,8} \cdot \frac{1}{\Delta Q}, \quad f_{MQ} = \frac{1}{1+2} \cdot \frac{1,8}{\Delta Q}, \quad \Delta Q = \Delta \cdot \frac{1-b_w/b}{b \cdot \frac{1-t_z/t_w}{1+t_z/t_w}}$$

Podobnie znaleźć można wartości odpowiadające najmniejszej szybkości opadania, przyrównując do zera wyrażenie:  $d(P_x \cdot V)/dV$ . Okazuje się wtedy, że wartości odpowiadające najmniejszej szybkości opadania różnią się tylko o stały współczynnik.

Zależności powyższe podane niemal równocześnie przez Helmbolda [10] i Schrenka [11], pozwalają w sposób nader przejrzysty na szybką ocenę wpływu poszczególnych czynników na własności aerodynamiczne. Iloczyn  $b_i \cdot \sqrt{f_{xs}}$ , przedstawia pewną powierzchnię, zwaną przez Schrenka „powierzchnią szybkości”. Jeżeli mianowicie wyobrazimy sobie prostokąt, którego jeden bok jest równy rozpiętości zredukowanej  $b_i$  płata, zaś drugi jest bokiem kwadratu o powierzchni  $f_{xs}$ , to jak widać, obciążenie powierzchni tego prostokąta określa szybkość po torze przy najmniejszym współczynniku szybowania, zaś stosunek boków jest proporcjonalny do doskonałości.



Ryc. 5.

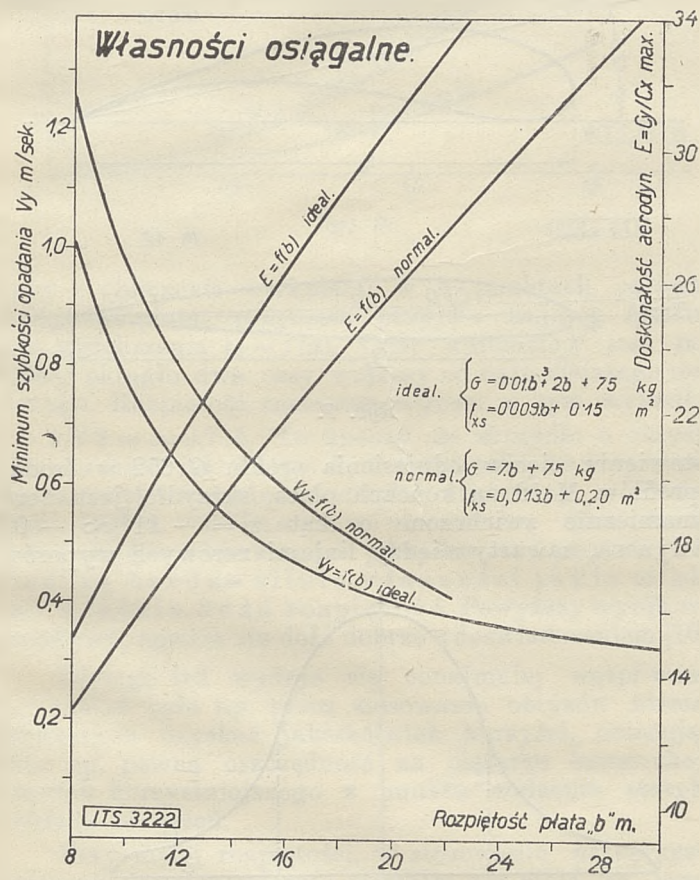
Zwiększenie rozpiętości jest jak widać, bardzo skutecznym a zarazem najprostszym sposobem zwiększenia doskonałości aerodynamicznej. Jeżelibyśmy sądzili, że przy obecnym stanie rozwoju szybowca nie można już wiele zmniejszyć oporów czołowych, to byłaby to droga jedyna. Istotnie, wychodząc z założenia, że szybowce obecne bardzo nieznacznie różnią się między sobą zewnętrznymi kształtami i osiągnęły już pewne, niemal że standartowe formy, Lippisch z R. R. G. [12], przyjmując w przybliżeniu pewną stałą wielkość powierzchni oporów czołowych dla wszystkich szybowców i wychodząc, podobnie jak Schrenk, z biegunowej parabolicznej, doszedł do wniosku, że szybkość opadania zależy tylko od obciążenia



przypadającego na kwadrat rozpiętości płata  $G/b^2$ . W związku z wzrastającą stale ilością szybowców zgłaszanych do Rhön, wyłoniła się przed trzema laty potrzeba ograniczenia konkursów jedynie do szybowców wyczynowych. Postanowiono więc przyjmować tylko szybowce o pewnej zdolności żaglowej i jako minimum szybkości opadania przyjęto  $V_y \cong 0,8 \text{ m/sek}$ ; odpowiada to według Lippischa  $G/b^2 \cong 1,10$ . Warunek ten opublikowany jako punkt regulaminu konkursu w Rhön w r. 1930, a niezawsze dobrze zrozumiany, przyczynił się niemało do nadmiernego zwiększania rozpiętości.

Obecnie daje się zauważyć reakcja w kierunku zmniejszenia rozpiętości. Duża rozpiętość jest bowiem niewygodną przy manewrowaniu w powietrzu, jak i na ziemi, zaś środki, które zmierzają do zwiększenia zwrotności niweczą aerodynamiczne korzyści, jakie miała dać duża rozpiętość. Zresztą nie można dowolnie zmniejszać szybkości opadania przez zwiększanie rozpiętości, gdyż równocześnie rośnie szybko ciężar własny konstrukcji.

Statystyka wykazuje, że ciężary szybowców obecnych leżą przeciętnie powyżej  $G_0 = 7 \cdot b$ . Ryc. 5. podaje statystykę ciężarów skrzydeł  $G_k$  oraz kadłubów  $G_k$  jako funkcje rozpiętości. Jako dolną granicę ciężarów skrzydeł można obecnie przyjąć:  $G_k = 0,01 b^3$ .



Ryc. 6.

Osiągają ją tylko wyjątkowo lekko budowane szybowce: D.28., Thermikus, Schlesien in Not, Austria. Ponieważ budziły one również zastrzeżenia co do wytrzymałości, można przyjąć, że granica powyższa w najbliższej przyszłości nie zostanie przekroczona. Ciężary kadłubów wahają się od  $G_k = 2 \cdot b$  do  $G_k = 4,5 \cdot b$ .

Przyjmując ciężar szybowca:

$$G = G_H + G_k + G_{pil}$$

w wypadku granicznym:

$$G_{ideal} = 0,01 \cdot b^3 + 2 \cdot b + 75,$$

oraz wartość przeciętnie dobrą:

$$G_{normal} = 7 \cdot b + 75,$$

wreszcie średnią głębokość płata  $1 \text{ m}$ , współczynnik oporu profilowego  $c_{xpi} = 0,009$  jako wartość idealną i  $c_{xpn} = 0,013$  jako przeciętną, przekrój największy kadłuba  $f_k = 0,5 \text{ m}^2$ , oraz współczynnik oporu kadłuba  $c_{xki} = 0,3$  w wypadku granicznym i  $c_{xkn} = 0,4$  jako wartość przeciętną — otrzymamy po wstawieniu w równania na  $E$  i  $V_y = V_e/E$ , doskonałość aerodynamiczną i szybkość opadania odpowiadającą najlepszemu współczynniki szybowania jako funkcje jedynie tylko rozpiętości (ryc. 6). Jak widać, zwiększenie rozpiętości powyżej  $20 \text{ m}$ , przynosi bardzo małe korzyści, jeśli chodzi o szybkość opadania, natomiast zmniejszenie powierzchni oporów czołowych przy małej rozpiętości wydaje się bardzo obiecującym środkiem tak ze względu na szybkość opadania jak i doskonałość aerodynamiczną. Powinno się dać osiągnąć własności, któreby zezwoliły na wykonywanie wszelkiego rodzaju lotów żaglowych już przy rozpiętości  $12 \text{ m}$ .

## 2. Profil płata.

Własności aerodynamiczne skrzydła określają: współczynnik szybowania  $c_x/c_y$ , współczynnik lotności  $c_x/c_y^{1,5}$  i maksymalny współczynnik siły nośnej  $c_{ymax}$ . Pierwsze z nich zależą przedewszystkiem od wydłużenia. Można to ocenić, jeżeli się weźmie pod uwagę, że dla stosowanych wydłużeń  $\Lambda = 10$  do  $20$ , oraz znanych profili,  $(c_x/c_y^{1,5})_{min}$  oraz  $(c_x/c_y)_{min}$  leżą zazwyczaj w pobliżu  $c_y = 1,0$ . Ale dla  $c_y = 1,0$  i  $\Lambda = 10-20$ , jest  $c_{xi} = 0,032-0,016$ , natomiast opór profilowy bardzo dobrych profili waha się w granicach  $c_{xp} = 0,008-0,012$ . Wahania współczynnika oporu profilowego dobrych profili stanowią więc przy  $\Lambda = 10$  do  $9\%$ , przy  $\Lambda = 20$  do  $16\%$  całkowitego oporu skrzydła. Przy większych wydłużeniach nawet stosunkowo małe różnice w oporze profilowym dobrych profili mogą więc odgrywać pewną rolę.

Finezje te mogą mieć jednak tylko wtedy wpływ na własności, o ile profil dobierzemy odpowiednio do wydłużenia. Ze wzrostem wydłużenia rośnie bowiem  $c_y$  przy jakim zajdzie  $(c_x/c_y)_{min}$  względnie  $(c_x/c_y^{1,5})_{min}$ . W przypadku biegunowej parabolicznej, byłoby:

$$(c_x/c_y)_{min} \text{ dla } c_y' = \frac{\Lambda}{b} \sqrt{\pi f_{xs}}$$

$$(c_x/c_y^{1,5})_{min} \text{ dla } c_y'' = \frac{\Lambda}{b} \sqrt{3 \pi f_{xs}^4}.$$

W tym zakresie  $c_y$ , współczynnik oporu profilowego powinien być możliwie najmniejszy. Ze wzrostem wydłużenia,  $c_y$  odpowiadające  $(c_x/c_y)_{min}$  względnie  $(c_x/c_y^{1,5})_{min}$  zbliża się coraz więcej do  $c_{ymax}$ . Nawet przy niezbyt dużym wydłużeniu może się wówczas zdarzyć, że minimum szybkości opadania leżeć będzie tuż w pobliżu  $c_{ymax}$  t. j. w pobliżu gwałtownego przepadania (porównaj np. ryc. 1 szybowiec II). Skutek będzie taki, że w praktyce tylko wyjątkowo latać będzie można na najmniejszej szybkości opadania: Najmniejsza zmiana kąta natarcia spowoduje natychmiast zwiększenie szybkości opadania tem gwałtowniejsze, im większe wydłużenie przy danym  $c_{ymax}$  profilu. Doświadczenie uczy wprawdzie, że ze wzrostem wydłużenia rośnie również  $c_{ymax}$ , ale bardzo nieznacznie. Dla dużych wydłużeń trzeba stosować profile o wysokim  $c_{ymax}$ .

Tak zwane „profile szybowcowe“ o wysokim  $(c_y^3/c_x^2)_{max}$  stosowane z powodzeniem dla szybowców o szczególnie małej szybkości opadania, zarzuca się niekiedy na korzyść profili o wysokim  $(c_y/c_x)_{max}$ , które jednak mają równocześnie niskie  $c_{ymax}$ . Stosowanie takich profili dla dużych wydłużeń, ze względu na szybkość opadania może być bardzo niekorzystne pomimo, że rachunek i pomiar tunelowy nawet, wykazują



zupełnie zadawałające minimum szybkości opadania. Jeżeli bowiem krzywa  $V_y = f(V_0)$  w pobliżu  $V_{y \min}$  nie będzie dostatecznie płaską, będzie praktycznie niemożliwym latać na  $V_{y \min}$ . Zmiana  $V_y$  przy zmianie  $V_0$  będzie tem mniejsza w pobliżu  $V_{y \min}$ , im większa będzie różnica między szybkością  $V_0$  odpowiadającą  $V_{y \min}$ , a szybkością  $V_{\min}$ .

Podobnie jak  $V_e$  (p. 1 rozdz. IV), jest:

$$V_0 \propto \sqrt{\frac{G}{b_i \cdot f_{xs}^{1/2}}}$$

natomiast:

$$V_{\min} = 4 \sqrt{\frac{G}{F \cdot c_{y \max}}}$$

Uwzględniając, że  $f_{xs} = c_{xp} \cdot F + f_{xk}$ , oraz po wstawieniu wartości  $F$  z równania na  $V_{\min}$ , dojdziemy do wniosku, że przy danym  $V_0$ :

$$\frac{V_e}{V_{\min}} \propto \frac{V_0}{V_{\min}} \propto \frac{c_{y \max}}{c_{xp}}$$

Dla danego  $c_y'$  określonego wydłużeniem, odpowiadającego  $(c_x/c_y)_{\min}$ , najodpowiedniejszym będzie profil, który oprócz małego  $c_{xp}$  posiada w tym punkcie równocześnie możliwe wysokie  $c_{y \max}$  ( $c_{xp}^4$ ).

Nasuwa się tu sprawa użyteczności szczelin Lachmann-Handley-Page i t. p. dla szybowców. Pewne próby w tym kierunku czynił jeszcze Klemperer w r. 1923. Chodziło tam jednak o zwiększenie  $c_y^3/c_x^2$ . Na podstawie dotychczasowych dmuchań można powiedzieć, że szczeliny nie mogą być pożyteczne, jeśli chodzi o zwiększenie współczynnika lotności. Każdy bowiem sposób zwiększający  $c_y$ , zwiększa równocześnie  $c_{xp}$ . Natomiast szczeliny otwierające się czy to automatycznie, czy też z woli pilota, tam, gdzie chodzi o zmniejszenie szybkości minimalnej, a gdzie pogorszenie współczynnika szybowania i zwiększenie minimalnej szybkości opadania nie odgrywa roli, jak to się ma w silnych lecz ograniczonych prądach termicznych, mogą mieć pewne widoki powodzenia, o ile np. sposób ten okazałby się korzystniejszym aniżeli krążenie. Po opuszczeniu prądu wstępującego, przy zamkniętych szczelinach, profil mógłby wówczas posiadać znaczną doskonałość przy małym  $c_y$ , a więc równocześnie dużej szybkości po torze.

Obok własności aerodynamicznych profilu mogą mieć wpływ na własności całego szybowca: Grubość profilu ze względu na ciężar konstrukcji, oraz współczynnik momentu przy zerowym wyporze, ze względu na ciężar i wielkość koniecznego opierzenia, jaka wchodzi w opory szkodliwe. Ciężar płata maleje, przy wolności konstrukcji, z grubością profilu; równocześnie jednak rośnie opór profilowy. Wpływy te równoważą się przy grubości profilu równej około 15% głębokości płata [14]. Dzięki pracom Munka, Birnbauma i innych oraz prof. Witoszyńskiego i jego szkoły znamy dziś sposoby dowolnego zmniejszenia współczynnika momentu przy zerowym wyporze. Sposoby te wpływają jednak równocześnie na  $c_{y \max}$  i  $c_{xp}$ . Stosunkowo mała ilość systematycznych pomiarów takich profilów nie pozwala jednak jeszcze na wyciągnięcie ogólnie ważnych wniosków.

### 3. Zwichrzenie i obrys płata.

W ogólności jest opór wzbudzony płata:

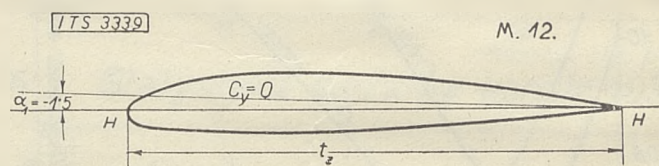
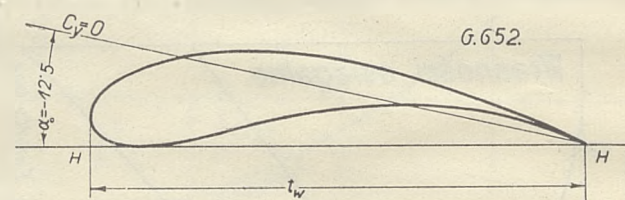
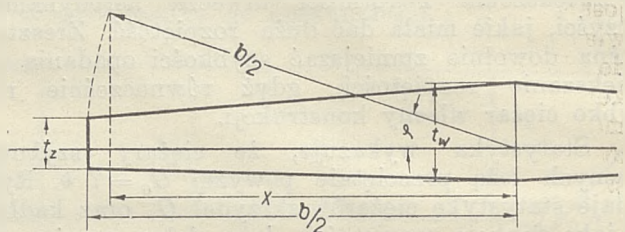
$$P_{zi} = (1 + \delta) \frac{P_y^2}{q \cdot \pi \cdot b^2}$$

<sup>4</sup>) Praktycznie, dobrze stosować wartość  $c_y'$  a nie  $c_y''$ , zazwyczaj bowiem przyjęcie biegunowej parabolicznej jest dostatecznie dokładne jedynie do wartości  $c_y'$  włącznie.

Dla obrysu eliptycznego przy niezmiennym profilu wzdłuż całej rozpiętości płata, rozkład wyporu wzdłuż rozpiętości jest eliptyczny i opór wzbudzony najmniejszy,  $\delta = 0$ . Dla każdego innego rozkładu jest  $\delta > 0$ , opór wzbudzony jest większy. Ten sam opór wzbudzony posiadać będzie płat eliptyczny o mniejszej rozpiętości

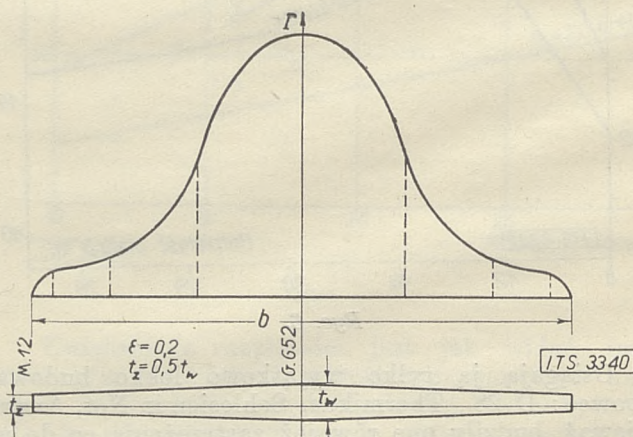
$$b_i = \frac{b}{\sqrt{1 + \delta}}$$

$b_i$  będzie rozpiętością zastępczą płata o rozpiętości rzeczywistej  $b$ . Przy małych zwichrzeniach płatów, o obrysach nie wiele odbiegających od obrysu eliptycznego, różnice są stosunkowo małe. W związku ze statecznością poprzeczną przy skrętach zachodzi jednak potrzeba silnego zwichrzenia płatów o większej rozpiętości. Przykład takiego płata podaje ryc. 7: Przy równoległym



Ryc. 7.

ustawieniu cięciw odniesienia profilu G.652 w środku i profilów M.12 na końcach płata, skrzydło<sup>1</sup> jest aerodynamicznie zwichrzone o kąt  $\epsilon = -11^\circ \approx -0,2$  radjana, zawarty między liniami zerowych wyporów.



Rozkład wyporu wzdłuż płata Trapezowego zwichrzonego.

Ryc. 8.

Ryc. 8 przedstawia rozkład wyporu wzdłuż rozpiętości takiego płata obliczony przy zastosowaniu metody Glauerta dla rozwiązania całki Prandtla, określającej rozkład cyrkulacji [15].

Jeżeli mianowicie cyrkulację w dowolnym przekroju przedstawimy szeregiem Fouriera:

$$\Gamma = 2bV \sum a_n \cdot \sin n\varphi,$$



gdzie  $\varphi = \arccos 2x/b$  (ryc. 7), wówczas współczynniki  $\alpha_n$  muszą spełniać zależność:

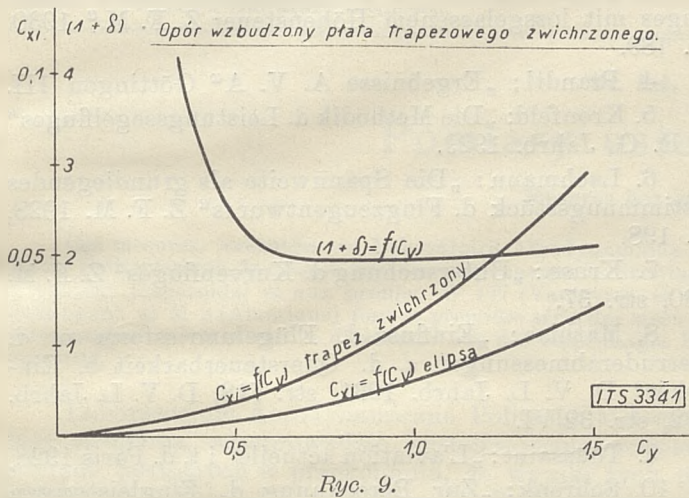
$$\sum \alpha_n \cdot \sin n\varphi (n\mu + \sin \varphi) = \mu \cdot \alpha \cdot \sin \varphi,$$

gdzie  $\mu = \frac{2\pi t}{4b}$ , oraz  $n = 1, 3, 5, \dots$

Dla płata o dowolnym obrysie i zwichrzeniu jest w ogólności  $t = f(\varphi)$  i  $\alpha = f(\varphi)$ . Dla znalezienia cyrkulacji w  $m$  punktach rozpiętości wystarczy rozwiązać  $m$  równań o  $m$  niewiadomych  $\alpha_n$ . Znajdąc rozkład cyrkulacji wzdłuż rozpiętości płata, znaleźć łatwo opór wzbudzony z zależności:

$$(1 + \delta) = \frac{\sum n \alpha_n^2}{\alpha_1^2}.$$

Ryc. 9 podaje opór wzbudzony rozpatrywanego płata trapezowego silnie zwichrzonego (ryc. 7), otrzy-



Ryc. 9.

many z obliczenia cyrkulacji w 4 punktach połówki rozpiętości płata, przyczem przyjęto liniową zmianę kąta zwichrzenia  $\varepsilon_x = f(x)$ . Opór wzbudzony jest jak widać, okrągło dwa razy większy od najmniejszego możliwego. Rozpiętość zastępcza wynosi w tym wypadku  $b_i = b/\sqrt{2} \approx 0,7 \cdot b$ . To znaczy, że skrzydło o obrysie i zwichrzeniu jak w ryc. 7, o rozpiętości 18 m posiada ten sam opór wzbudzony co płat eliptyczny o rozpiętości 12,6 m. Silne zwichrzenie, podobnie jak i duża zbieżność płatów trapezowych, niszczą bardzo silnie własności jakie miała dać właśnie duża rozpiętość. Powyższy wynik rachunkowy, zgadza się dość dobrze z doświadczeniem [16].

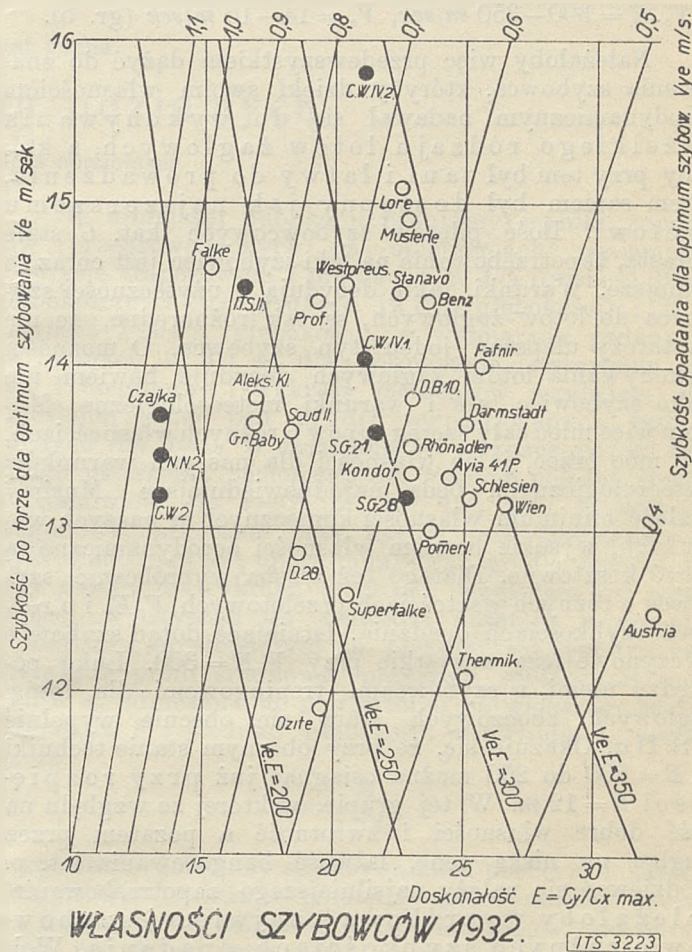
Dlatego też wydaje się conajmniej wątpliwym, aby można było np. przez stosowanie obrysów niemal trójkątnych uzyskać jakiegokolwiek korzyści, obiecując sobie np. pewną oszczędność na ciężarze konstrukcji wskutek korzystniejszego z punktu widzenia statyki rozkładu obciążeń.

Przy małej rozpiętości, w stosowaniu najkorzystniejszych aerodynamicznie obrysów nie stoją na przeszkodzie ani zwrotność, ani też wzgląd na lekkość konstrukcji.

## V. Luki i potrzeby naszego taboru, program wypróbowania różnych typów.

Wykres na ryc. 10, oparty na wyprowadzonej wyżej zasadzie (rozdz. II, p. 3), że iloczyn  $E \cdot V_c$  obok szybkości opadania jest miarą zdatności szybowca do przelotów, podaje zestawienie własności aerodynamicznych ważniejszych szybowców zagranicznych i wszystkich polskich, które opracowano na drodze analitycznej z uwzględnieniem właściwych danemu typowi kształtów aerodynamicznych. Przyjęto przytem, że opór profilowy

płata jak i części nienośnych nie zmienia się w zakresie kątów natarcia używanych normalnie w locie do kąta natarcia odpowiadającego najlepszej doskonałości włączenie. Jak uczą wyniki pomiarów tunelowych, założenie to jest zupełnie usprawiedliwione. Przyjęto współczynnik oporu profilowego płata dla wszystkich szybowców  $c_{zp} = 0,015$ . To założenie usprawiedliwione jest o tyle, że grubości profili skrzydeł wolnonośnych wahają się mało (16—18% głębokości płata), natomiast przy konstrukcjach wspornikowych opór profilowy płata jest wprawdzie mniejszy, ale zato dochodzi opór zastrzałów. Przyjęcie to jest oczywiście nieco niekorzystne dla konstrukcji wspornikowej. Współczynnik oporu kadłuba ze sterami przyjęto  $c'_{mk} = 0,3$  dla kadłubów o przekroju owalnym, oraz  $c''_{zk} = 0,5$  dla przekroju graniastego. Powierzchnię największego przekroju kadłuba przyjęto  $f_k = 0,5 m^2$ . Dla szybowców z otwartym kadłubem założono wielkość powierzchni oporów szkodliwych  $f_{zk} = 0,35 m^2$ .



Ryc. 10.

Starałem się nadto uwzględnić wpływ obrysów redukując odpowiednio rozpiętość. Uwzględnianie zwichrzenia ze względu na brak odpowiednich danych nie było możliwe.

Obliczone w ten sposób własności aerodynamiczne nie mogą być oczywiście ściśle. Przybliżone pomiary szybkości opadania niektórych szybowców niemieckich jak i polskich zdają się wskazywać na to, że szybkości opadania uwidocznione na wykresie są okrągło o 0,2 m/sek niższe niż rzeczywiste. Chodziło tu tylko o porównanie względne różnych szybowców w sposób w każdym razie bliższy rzeczywistości, aniżeli stosowany przez Lippischa, na zasadzie jedynie  $G/b^2$ .

Obok prostych równych szybkości opadania wkreślono na wykresie hiperbole równych iloczynów doskonałości aerodynamicznej i odpowiadających im szybkości



po torze. Jak widać, pomimo różnych szybkości opadania i różnych doskonałości aerodynamicznych szybowce, które istotnie posiadają za sobą najwspanialsze wyczyny, a w szczególności najdłuższe przeloty jak Musterle, Wien, Fafnir, posiadają prawie tą samą wartość iloczynu szybkości i doskonałości aerodynamicznej, zgodnie z tem co zauważyliśmy w rozdz. I.

Na wykresie statystycznym występują odrazu luki naszego taboru. Wskazaniem by było dążyć do wypełnienia tych luk i wypróbować w polskich warunkach meteorologicznych szybowce o własnościach określonych na wykresie następującymi polami:

$$V_e \cdot E = 200 - 250 \text{ m/sek}, V_e = 13 - 14 \text{ m/sek (gr. 1);}$$

$$V_e \cdot E = 200 - 250 \text{ m/sek}, V_e = 12 - 13 \text{ m/sek (gr. 2);}$$

$$V_e \cdot E = 250 - 300 \text{ m/sek}, V_e \geq 14 \text{ m/sek (gr. 3);}$$

$$V_e \cdot E = 300 - 350 \text{ m/sek}, V_e = 13 - 14 \text{ m/sek (gr. 4);}$$

$$V_e \cdot E = 300 - 350 \text{ m/sek}, V_e = 14 - 15 \text{ m/sek (gr. 5).}$$

Należałoby więc przedewszystkiem dążyć do znalezienia szybowca, któryby dzięki swoim własnościom aerodynamicznym nadawał się do wykonywania wszelkiego rodzaju lotów żaglowych, a któryby przy tem był tani i łatwy do prowadzenia, a tem samem był dostępny jak najszerszemu ogółowi. Ilość pilotów szybowcowych kat. C stale wzrasta, zapotrzebowanie na taki szybowiec jest coraz to silniejsze. Warunki, jakie decydują o użyteczności szybowca do lotów żaglowych, są tak różnorodne, że nie wystarczy ulepszać jeden typ szybowca. O możliwości wykonywania lotów żaglowych decyduje bowiem nie tylko szybowiec, ale i warunki meteorologiczne. Musimy więc mieć cały szereg typów o różnych własnościach, aby móc orzec, jakie własności dla naszych warunków meteorologicznych będą najodpowiedniejsze. Musimy znaleźć minimum własności koniecznych w naszych warunkach, wysokie bowiem własności aerodynamiczne są dosyć kosztowne. Dlatego też trzeba wypróbować szybowce o różnych wartościach przelotowych  $V_e E$ , i o różnych szybkościach opadania. Istniejące dotąd szybowce wyczynowe leżą wszystkie przy  $V_e E = 300$ . Lukę pomiędzy nimi, a szybowcami treningowymi dla lotów żaglowych zboczowych stara się obecnie wypełnić ITS II a. Okazuje się, że przy obecnym stanie techniki  $V_e E = 200$  do 250 można osiągnąć już przy rozpiętości  $b = 12 \text{ m}$ . W tej grupie, w której ze względu na dość dobre własności i zwrotność a pozatem przez wzgląd na niską cenę, łatwość hangarowania i t. p. spodziewać się należy najsilniejszego zapotrzebowania, należałoby wypróbować najwięcej szybowców o różnych szybkościach opadania. Wolniejsze (grupa 2) będą zapewne korzystniejsze dla lotów termicznych, szybsze (grupa 1) prawdopodobnie lepsze dla przelotów. Nie można jednak z góry przewidzieć czy wartość przelotowa tych szybowców będzie wystarczająca. W pobliżu istniejących typów  $V_e E = 300$  należałoby więc wypróbować jeszcze grupę 3, nieco szybszą; rozpiętość nie powinna przekraczać przytem  $14 \text{ m}$ .

Następnie w kategorii szybowców o wysokich wyczynach należałoby dążyć do uzyskania również niedużej rozpiętości. Wskazaniem byłoby wobec tego wypróbować szybowce w granicach rozpiętości pomiędzy  $14 - 18 \text{ m}$ , jednak dążąc do rozpiętości jaknajmniejszej, o wysokiej doskonałości aerodynamicznej z cechami grup 4 i 5.

Ogólna charakterystyka szybowców poszczególnych grup proponowanych do wypróbowania przedstawiałyby się następująco:

grupa 1 — rozpiętość $\leq 12 \text{ m}$	} Obciążenie powierzchni nośnej 12 do $13 \text{ kg/m}^2$
grupa 3 — „ $\leq 14 \text{ m}$	
grupa 4 — „ $> 14 \text{ m}$	
grupa 2 — „ $\leq 12 \text{ m}$	} Obciążenie $\leq 10 \text{ kg/m}^2$
grupa 5 — „ $> 14 \text{ m}$	

Próba i zdobyte doświadczenie wykazałyby, jakie typy są dla polskich warunków meteorologicznych najlepsze.

## Literatura.

1. Lange: „Über Vertikalbewegungen d. Luft“ R. R. G. Jahrb. 1930.
2. Haus: „Stabilité et maniabilité des avions“, Paris 1930.
3. Blenk: „Über d. Längsstabilität eines Flugzeuges mit lossgelassenem Höhensteuer Z. F. M.“ 1930, str. 189.
4. Prandtl: „Ergebnisse A. V. A“ Göttingen 111.
5. Kronfeld: „Die Methodik d. Leistungssegelfluges“ R. R. G. Jahrb. 1929.
6. Lachmann: „Die Spannweite als grundlegendes Bestimmungsstück d. Flugzeugentwurfs“ Z. F. M. 1928, str. 198.
7. Kruse: „Untersuchung d. Kurvenfluges“ Z. F. M. 1930, str. 37.
8. Mathias: „Einfluss d. Flügelumrissform u. d. Querruderabmessungen a. d. Quersteuerbarkeit b. Eindecker“ D. V. L. Jahrb. 1931, str. 712, D. V. L. Jahrb. 1932, str. 32/VI.
9. Toussaint: „L'aviation actuelle“ i t. d. Paris 1928.
10. Schrenk: „Zur Berechnung d. Flugleistungen ohne Zuhilfenahme d. Polare“ Z. F. M. 1927, str. 399 i 158.
11. Helmbold: „Die generalisierten Koordinaten d. Flugmechanik“ Z. F. M. 1937, str. 516.
12. Lippisch: „Technischer Bericht d. Rhön-Wettbewerb 1929“, Z. F. M. 1930, str. 92.
13. Schrenk: „Die Spannweite als Mass für d. Sinkgeschwindigkeit“ R. R. G. Jahrb. 1929.
14. Müller: „Flügelschnitt u. Flugleistungen“ Lufo. Bd. 5. H. 1.
15. Glauert-Holl: „Grundlagen d. Tragflügel- u. Luftschraubentheorie“.
16. Schmidt: „Beitrag z. Entwicklung eines autorotationsfreien steil landbaren Flugzeuges“ Z. F. M. 1931, str. 546 i 569.

## Odczyty w Sekeji lotniczej i samojazdowej Polskiego Towarzystwa Politechnicznego we Lwowie.

Odczyty wygłoszone w miesiącach: lutym, marcu i kwietniu 1933:

17/II. Dr. Stefan Neumark z Warszawy: „Zagadnienia i metody mechaniki lotu“.

20/III. Inż. Adolf Polak ze Lwowa: „Niektóre zagadnienia mechaniczne silników spalinowych szybkoobrotowych“.

27/III. Inż. Władysław Jaworski ze Lwowa: „Obciążenia przy obliczaniu skrzydeł szybowców“.

3/IV. Mgr. Adam Kochański ze Lwowa: „O prądach stokowych i termicznych na szybowisku w Bezmiechowej — na podstawie pomiarów meteorologicznych w r. 1932“.

Cena numeru 1 zł.